

RÉPUBLIQUE ALGÉRIENNE DÉMOCRATIQUE ET POPULAIRE
Ministère de l'Enseignement Supérieur et de la Recherche Scientifique

École Nationale Polytechnique



Département d'Electronique
Laboratoire des Dispositifs de Communication et de Conversion
Photovoltaïque

*Mémoire de projet de fin d'études
pour l'obtention du diplôme d'ingénieur d'état en Electronique*

THÈME :

**IMPLEMENTATION SUR FPGA D'UN DECODEUR
SPATIO-TEMPOREL POUR LES SYSTEMES MIMO
DE COMMUNICATION SANS FILS.**

DJELILI Amina

Sous la direction de

Mr. M. TAGHI

Présenté et soutenu publiquement le 18 Juin devant le jury composé de :

Président	MCA. R. SAADOUN	(ENP)
Examineur	Pr. D. BERKANI	(ENP)
Promoteur	MAA. M. TAGHI	(ENP)

ENP 2017

RÉPUBLIQUE ALGÉRIENNE DÉMOCRATIQUE ET POPULAIRE
Ministère de l'Enseignement Supérieur et de la Recherche Scientifique

École Nationale Polytechnique



Département d'Electronique
Laboratoire des Dispositifs de Communication et de Conversion
Photovoltaïque

*Mémoire de projet de fin d'études
pour l'obtention du diplôme d'ingénieur d'état en Electronique*

THÈME :

**IMPLEMENTATION SUR FPGA D'UN DECODEUR
SPATIO-TEMPOREL POUR LES SYSTEMES MIMO
DE COMMUNICATION SANS FILS.**

DJELILI Amina

Sous la direction de

Mr. M. TAGHI

Présenté et soutenu publiquement le 18 Juin devant le jury composé de :

Président	MCA. R. SAADOUN	(ENP)
Examineur	Pr. D. BERKANI	(ENP)
Promoteur	MAA. M. TAGHI	(ENP)

ENP 2017

A ma mère et mon père

A mes frères et ma soeur

A mes amis

Remerciements

Ce mémoire de fin d'études à été effectué au sein du département d'Electronique de l'Ecole Nationale Polytechnique d'Alger.

Je tiens à remercier mon promoteur M.Taghi qui m'a soutenu tout au long de la réalisation de ce projet.

Je remercie tous les professeurs et enseignants dont j'ai eu l'honneur de côtoyer et qui m'ont fourni les bases nécessaires pour accomplir ce travail durant mon cursus.

Mes plus vifs remerciements s'adressent aussi à tout le cadre professionnel et administratif de L'école Polytechnique.

Mes remerciements vont enfin à toute personne qui a contribué de près ou de loin à l'élaboration de ce travail.

ملخص

يتمحور هذا العمل حول محاكاة و تثبيت خوارزمية فك التشفير الاموتي علي بطاقة ف ب ح اي. هذه دراسة لتقنيات التشفير و فك التشفير الزماني المكاني بالكتل لأنظمة الميمو و يليه محاكاة و تثبيت خورزمية فك التشفير الاموتي و الدوائر المرتبطة به علي بطاقة ال ف بي جي اي.

الكلمات المفتاحية: الكتل الزمنية المكانية، الاموتي ، فك التشفير الاموتي.

Abstract

This work revolves around the simulation and the implementation on FPGA of an Alamouti decoder for MIMO communications systems.

This is a study of the techniques of space-time block coding & decoding of the MIMO systems followed by the implementation of the decoding of Alamouti and its associated circuits on the FPGA ML501 Board.

Keys words: space-time block, Alamouti, Alamouti decoder.

Résumé

Ce travail s'articule autour de la simulation et l'implémentation sur FPGA d'un décodeur d'Alamouti pour les systèmes de communications MIMO.

Il s'agit d'une étude des techniques de codage / décodage spatio-temporels en bloc des systèmes MIMO suivie de l'implémentation du décodeur d'Alamouti et des circuits associés sur la carte FPGA ML501.

Mots clé : Spatio-temporel en bloc, Alamouti, décodeur d'Alamouti.

Table des matières

Table de figures

Liste des tableaux

Acronymes

Notations et variables utilisées

Introduction générale	11
1 Etude théorique	13
1.1 introduction	13
1.2 Canal Radio Mobile	13
1.3 Gain de puissance :	14
1.4 Gain de diversité :	15
1.4.1 Modèles des canaux d'évanouissements :	15
1.4.2 Evanouissement plat :	18
1.5 Système de communication MIMO	18
1.6 Codage spatio-temporel :	18
1.6.1 Définitions :	18
1.6.2 Codage spatio-temporel en bloc :	19
1.7 Emission :	21
1.7.1 Modulation :	21
1.7.2 Codage spatio-temporel d'Alamouti :	23
1.8 Réception	25
1.8.1 Décodage	25
1.8.2 Estimateur du canal :	26
1.9 Conclusion	27
2 Simulation	28
2.1 introduction	28
2.2 Simulation Matlab(Simulink) :	28
2.2.1 Estimateur de canal :	28
2.2.2 Décodeur d'Alamouti :	28
2.2.3 Simulateur de canal :	28
2.2.4 Résultats de la simulation MATLAB(Simulink) :	29
2.3 Conclusion :	30

3 implémentation	31
3.1 introduction	31
3.2 Modélisation HDL :	31
3.2.1 Codeur d'Alamouti :	31
3.2.2 estimateur :	31
3.2.3 Décodeur d'Alamouti :	32
3.3 Simulateur du canal :	33
3.4 Résultats des simulations :	35
3.5 Implémentation sur FPGA	36
3.5.1 Premier contact :	36
3.5.2 Caractéristiques :	36
3.5.3 Résultats de l'implémentation :	37
3.6 Conclusion	41
Conclusion et perspectives	42
Bibliographie	43
Annexes	44

Table des figures

1.1	Mécanismes de Propagation du signal de la station de base au mobile	13
1.2	Différentes configurations d'antennes	14
1.3	Trajets des signaux	16
1.4	trajets multiples des signaux	17
1.5	effet doppler	17
1.6	codeur spatio-temporel	19
1.7	Chaîne d'émission	21
1.8	Constellation BPSK	22
1.9	Constellation QAM	23
1.10	performance du code d'alamouti	25
1.11	Chaîne de réception	25
2.1	canal de rayleighrayleigh	29
2.2	schema simulink	29
3.1	décodeur	33
3.2	Canal	33
3.3	Resultats de la simulation de QAM	35
3.4	Résultats de la simulation de BPSK	36
3.5	Horloges du ML501	36
3.6	Leds principales du ML501	37
3.7	Switch utilisé du ML501	37
3.8	Schéma RTL de la chaîne de transmission à modulateur QAM	38
3.9	Schéma RTL de la chaîne de transmission à modulateur BPSK	38
3.10	Schéma RTL du Décodeur	39
3.11	Rapport de Synthèse	40
3.12	Photographie du Kit FPGA durant l'implémentation	40

Liste des tableaux

1.1	Tableau de la modulation BPSK	22
1.2	Tableau de la modulation QAM	22
3.1	tableau d'affectation des opérandes au décodeur	32
3.2	Tableau d'affectation des opérandes au canal	35

Acronymes

AWGN	Average White Gaussian Noise
BER	Bit rate error
BPSK	Binary Phase Shift Keying
CDM	Codeword Distance Matrix
CGD	Gain de codage (Cumulative Gain Distance)
CSI	Channel State Information
CST	Code Spatio Temporels
FER	Frame Error Rate
ISI	Inter Symbols Interference
LOS	Line Of Sight
M-ASK	M - Amplitude Shift Keying
MIMO	Multiple Input Multiple Output
MISO	Multiple Input Single Output.
ML	Maximum Likelihood
MRC	Maximum Ratio Combining
MV	Maximum de Vraisemblance
OFDM	Orthogonal Frequency Division Multiplexing
QPSK	Quaternary Phase Shift Keying
QAM	Quadrature Amplitude Modulation.
SIMO	Single Input Multiple Output.
SISO	Single Input Single Output
SNR	Signal to Noise Ratio
STBC	Space Time Bloc Code
STC	Space Time Coding

Notations et variables utilisées

a^*	Conjugué du scalaire a .
A	Matrice.
i	Nombre complexe défini par $i^2 = -1$.
I_n	Matrice identité de dimension $n \times n$.
A^H	la matrice Hermitienne conjuguée A .
\otimes	Produit de Kronecker.
$ a $	Module du scalaire a .
n	Nombre d'antennes de transmission.
p	Nombre de périodes de transmission.

Introduction générale

Les systèmes de communications modernes doivent satisfaire les exigences des usagers en matière de débit de transmission et de qualité de service.

Dans cette optique, les systèmes de transmission de type MIMO, comportant plusieurs antennes à l'émission et à la réception, sont considérés comme étant des techniques incontournables. L'efficacité spectrale potentielle de tels systèmes bien plus élevée que celle des systèmes mono-antenne et leur robustesse face aux évanouissements du canal grâce à une meilleure exploitation de la diversité améliorant ainsi la qualité de la transmission rend les systèmes MIMO très attractifs.

L'utilisation d'antennes multiples dans les systèmes de communications a commencé avec l'application de techniques de diversité spatiale de réception pour combattre les évanouissements dans ces Canaux. Ces systèmes étaient constitués d'une seule antenne en émission et de plusieurs antennes en réception. En recombinaison des signaux résultant de ces nombreux canaux, il est alors possible d'accroître la robustesse du système. En 1998, Alamouti propose une technique très simple de diversité de transmission dont les performances sont équivalentes à celles de systèmes avec diversité spatiale de réception. Basés sur un codage en bloc des données, cette technique sera baptisée codage spatio-temporel en bloc (SpaceTime Block Coding, STBC). A la suite de ces travaux, des chercheurs ont proposé de nombreux schémas de STBC permettant de combiner diversité spatiale d'émission et de réception pour différentes configurations d'antennes.

Le travail exposé dans ce mémoire consiste à élaborer les techniques de décodage spatio-temporels dans les systèmes de communication MIMO et à implémenter sur FPGA un décodeur basé sur la méthode d'Alamouti.

Plan du mémoire

Ce mémoire est organisé en 3 chapitres.

Le premier chapitre expose les notions de base nécessaires pour aborder les autres chapitres du manuscrit. Nous décrivons les caractéristiques et les notions associées à un canal radio mobile, puis nous définissons un modèle du système MIMO et on se limitera au cas de deux antennes pour aborder le théorème d'Alamouti. Les techniques de transmission MIMO (2 X 2) à l'émission et à la réception, associées à un codage de canal, sont abordées par la suite. Dans le cadre de ce travail, nous partons de l'hypothèse que le canal de

transmission est inconnu puis il est estimé à la réception. On décrira par la suite l'architecture que nous avons spécifié pour le récepteur MIMO.

Le deuxième chapitre aborde les aspects algorithmiques du codage et décodage d'Alamouti. On vérifiera le fonctionnement de notre architecture en simulant son fonctionnement sur MATLAB et Modelsim.

Dans le dernier chapitre on présentera brièvement la carte FPGA utilisée (FPGA ML 501) puis on exposera les résultats obtenus après l'implémentation.

Chapitre 1

Etude théorique

1.1 introduction

Dans ce premier chapitre nous posons le cadre de notre travail et nous présentons les différentes notions utilisées dans les chapitres à venir. Nous présentons dans un premier temps un canal radio-mobile et les différentes caractéristiques qui lui sont associées. Nous définissons ensuite un modèle du système multi-antennes : MIMO en abordera ensuite le cas de deux antennes en émission et en réception. Une chaîne de transmission numérique permet le transport, en bande de base, d'information numérique entre un émetteur et un récepteur à travers un canal de transmission. Nous nous intéressons aux systèmes MIMO nécessitant uniquement la connaissance du canal à la réception. Sous cette hypothèse, le système MIMO emploie un codage espace-temps qui exploite les dimensions spatiale et temporelle apportées par le canal MIMO. Dans ce système, l'émetteur comprend les fonctions de codage de canal, codage espace temps. Quant au récepteur, il comprend les fonctions symétriques, à savoir : la détection MIMO, le décodage de canal.

1.2 Canal Radio Mobile

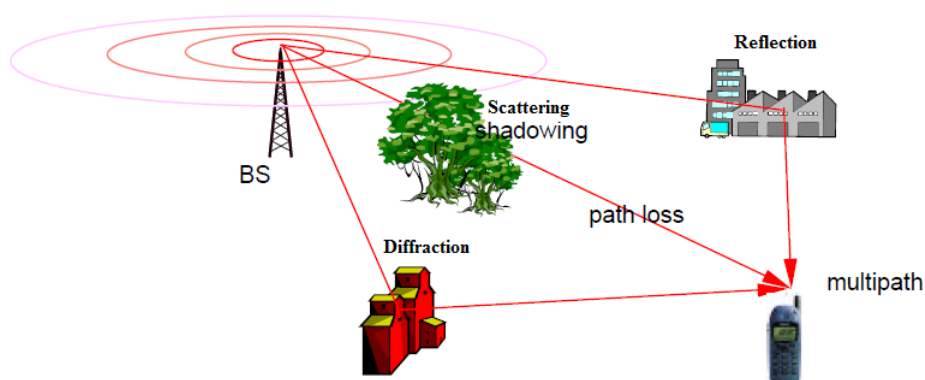


FIGURE 1.1 – Mécanismes de Propagation du signal de la station de base au mobile

Le signal transmis peut suivre plusieurs chemins avant d'atteindre le récepteur. Ces trajets multiples sont causés par la diffraction, réflexion, la dispersion, déplacement du mobile...etc

d'où le signal suivant ces trajets peut subir des évanouissements en amplitude ou en phase selon l'équation qui suit [5] :

$$Y = H.X + W \quad (1.1)$$

tel que :

H : évanouissement (représente le canal).

X : signal transmis.

W : le bruit AWGN dû aux rayonnements captés par les antennes, les interférences éventuelles entre utilisateurs et le bruit généré par les composants électroniques.

En présence d'un large nombre d'évanouissements, le canal radio-mobile peut être modélisé par un processus aléatoire Gaussien complexe (théorème central limite).

1.3 Gain de puissance :

C'est l'augmentation moyenne du rapport signal sur Bruit SNR à la réception. La connaissance du canal à l'émission ou à la réception résulte sur la combinaison cohérente des signaux à la reception. Si le récepteur connaît le canal on dit gain d'émission si non on dit gain de réception.

Généralement, les systèmes à plusieurs antennes nécessitent une connaissance parfaite sur le canal soit au niveau du récepteur ou les deux.

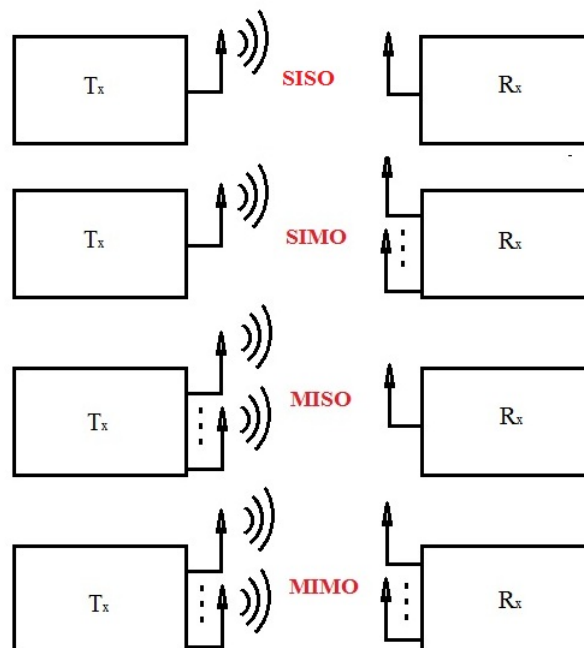


FIGURE 1.2 – Différentes configurations d'antennes

1.4 Gain de diversité :

Lorsque le signal sortant du canal est fortement affecté on dit qu'il a subi un évanouissement. Donc pour résoudre ce problème l'envoi de plusieurs réplique du même signal sur différentes branches c'est ce qu'on appelle «la diversité».

- Diversité temporelle :

Consiste à envoyer le même signal à des instants différents séparés d'au moins le temps de cohérence du canal pour assurer leur décorrélation. Cette technique de diversité est intéressante pour les canaux ergodique.

Dans ce cas les répliques du signal transmis sont fourni à travers le temps par une combinaison de codage de canaux et stratégies d'entrelacement de temps.

Pour que cette forme de diversité soit effective, il faut que le canal fournit assez de variation en temps. On l'applique dans le cas ou la cohérence en temps du canal est inférieur au temps de l'entrelacement des symboles désiré.

Dans ce cas, on est sur que les symboles sont indépendants les uns aux autres et rend une nouvelle réplique du symbole originale.

- Diversité fréquentielle :

consiste à envoyer le même signal sur des fréquences différentes séparées d'au moins la bande de cohérence du canal. Cette technique de diversité est utilisée dans les systèmes OFDM.

Elle fournit des répliques du signal original sur le domaine en fréquence. Cela garantit que les différentes parties du spectre soient affectées par le même évanouissement.

- Diversité spatiale :

La diversité d'espace en émission : consiste à envoyer le même signal sur des antennes différentes séparées d'au moins dix fois la longueur d'onde.

A la réception, cette diversité est perçue comme de la diversité temporelle. On l'appelle aussi « diversité d'antennes », c'est une méthode efficace pour combattre l'évanouissement multi trajets, car elle envoie plusieurs répliques du même signal sur les différentes antennes du récepteur. Cette technique est appliquée lorsque la distance entre les antennes est plus grande que la distance cohérente afin d'assurer l'indépendance entre les signaux reçu par les différentes antennes .

Ce type diversité est obtenue grâce à l'application de méthode de codage espace-temps.

Diversité d'espace en réception : C'est la réception du même signal sur plusieurs antennes différentes séparées d'au moins dix fois la longueur d'onde. Cette diversité est obtenue grâce à l'utilisation d'un systèmes à plusieurs antennes en émission et en réception.

1.4.1 Modèles des canaux d'évanouissements :

1.4.1.1 Canal de Rayleigh :

Le signal reçu est perturbé par l'évanouissement dû au trajets multiples ainsi que AWGN (Voir figure 1.3). Basé sur la bande passante de cohérence du canal et la bande passante du signal, deux modèles existent[6] :

Systèmes à bande étroite (flat frequency) : Dans ce type de systèmes, les signaux transmis occupent généralement une bande passante inférieure à la bande passante de

cohérence du canal; Ce type est également appelé « système à fréquence non sélectif » car toutes les fréquences du signal s'évanouissent de manière égale.

Systemes à large bande : Dans ce type de systèmes, la bande passante du signal transmis est plus grande que la bande passante de cohérence du canal. Par conséquent, Les composantes spectrales du signal transmis avec une séparation de fréquence plus grande que la bande passante de cohérence s'évanouissent indépendamment.

Dans le cas de l'évanouissement non-sélective les signaux reçu dans une bande de base complexe est représenté comme suit : $r(t) = h(t)x(t) + n(t)$

Où, $x(t)$ et $r(t)$ sont les signaux de bande de base complexes transmis et reçu, respectivement, et $h(t)$ est l'information sur l'état du canal (CSI)[6].

1.4.1.2 Canal de Rice :

Si la moyenne des évanouissements n'est pas nulle. Les signaux passent par des chemins latéraux et possèdent un chemin direct (LOS stable).

Donc, on a une composante principal et des composantes de phase aléatoire.

Voir figure 1.3 .

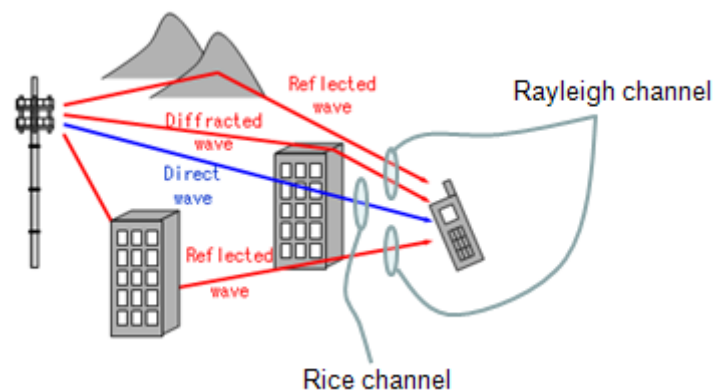


FIGURE 1.3 – Trajets des signaux

1.4.1.3 Propagation multi-trajets :

L'environnement du récepteur cause des réflexions des ondes avec atténuation d'amplitude et de phase; ces ondes réfléchies sont appelés ondes à trajets multiple.

La combinaison de ces ondes à l'entrée du récepteur peut être soit constructive ou destructive selon la phase du signal. La fluctuation en amplitude est appelée une décoloration du signal dû à la variation en temps des trajets.

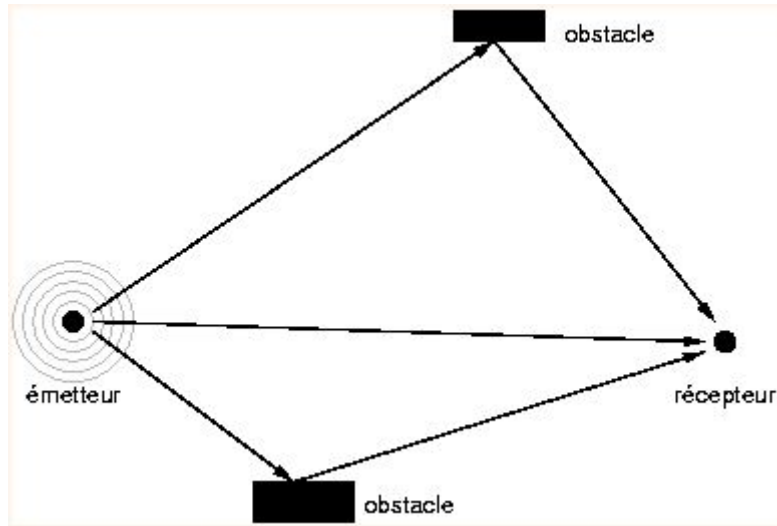


FIGURE 1.4 – trajets multiples des signaux

1.4.1.4 Doppler shift :

Ce phénomène est le résultat du déplacement et la mobilité du récepteur par rapport à l'émetteur. Il introduit un décalage en fréquence du signal reçu et dépend essentiellement de[2] :

- La position du mobile.
- La vitesse du récepteur v .

Soit :

λ :la longueur d'onde.

f :la fréquence porteuse.

f' :la fréquence captée par le récepteur

$$f' = f - \frac{v}{\lambda} \quad (1.2)$$

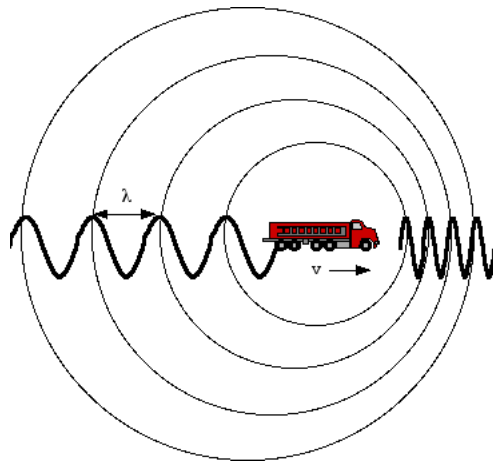


FIGURE 1.5 – effet doppler

1.4.2 Evanouissement plat :

C'est le cas où les différences de chemins sont faibles (par rapport à la durée des impulsions). La réponse en fréquence du canal est plate, ce qui veut dire que toutes les fréquences subit la même atténuation et ne déforme ni la phase ni l'amplitude du signal[7].

$$\Delta t < T_s$$

Si $m(t)$ est le signal transmis alors $m'(t)$ est le signal en sortie du canal tel que :

$$m'(t) = [h_1(t) + h_2(t) + \dots + h_{N-1}(t) + h_N(t)] \otimes m(t)$$

propriétés :

1. Même un faible déplacement (du mobile ou d'un élément extérieur, peut entraîner une réponse assez différente).
2. La cohérence spatiale et la cohérence temporelle sont faibles.
3. Si la pseudo-stationnarité (stationnaire pendant la durée d'un symbole, ou d'une trame) n'est pas vérifiée, on ne peut pas faire grand chose ...
4. La réponse du canal est simplement un coefficient complexe mais variable au cours du temps.

1.5 Système de communication MIMO

Dans une chaîne de transmission MIMO, l'envoi du flux d'information est réalisé à travers N antennes à l'émission et M antennes en réception. le flux d'information venant de la source est converti par l'émetteur, passant par le canal pour enfin arriver au récepteur qui effectuera une opération inverse afin de restituer le message au destinataire.

Un système est dit cohérent si le récepteur connaît les coefficients du canal. Dans les systèmes non cohérents, une estimation des coefficients du canal est nécessaire.

Dans ce travail, un système MIMO 2 X 2 (deux antennes en émission et en réception) non cohérent est utilisé, avec un estimateur de canal à séquence d'apprentissage.

1.6 Codage spatio-temporel :

1.6.1 Définitions :

L'idée de base des CST repose sur la transmission adéquate de l'information parmi les différentes antennes et dans le temps. Il s'agira donc d'associer la dimension temporelle du codage de canal "classique" avec la dimension spatiale (dans le sens géographique du terme) des multi-antennes. Ainsi, le raisonnement ce fait sur 2 dimensions [5].

le codage est spatial, temporel pour introduire une corrélation entre les signaux transmis.

Soit X la matrice de transmission de $n \times p$ taille tel que n est le nombre d'antennes de transmissions et p le nombre de périodes de transmission d'un bloc de symboles codés.

Si on prends une constellation de 2^m de points. Pour chaque opération de codage un bloc de $k.m$ bits d'informations est choisi tel que k signal modulé $(x_1, x_2, x_3, x_4, \dots, x_K)$ et chaque groupe de m bits selecte un signal de constellation.

Les k signaux sont codés par le codeur STBC pour générer n signaux parallèles dans p périodes d'où la matrice X, ces séquences sont transmises à travers n antennes simultanément sur p périodes.

$$X_{n,p} = \begin{bmatrix} x_{11} & x_{12} & \cdots & x_{1p} \\ x_{21} & x_{22} & \cdots & x_{2p} \\ \vdots & \vdots & \ddots & \vdots \\ x_{n1} & x_{n2} & \cdots & x_{np} \end{bmatrix} \quad (1.3)$$

1.6.2 Codage spatio-temporel en bloc :

le STBC à comme entrée k symboles donc chaque antenne d'émission transmet p symboles pour chaque block de K[1].

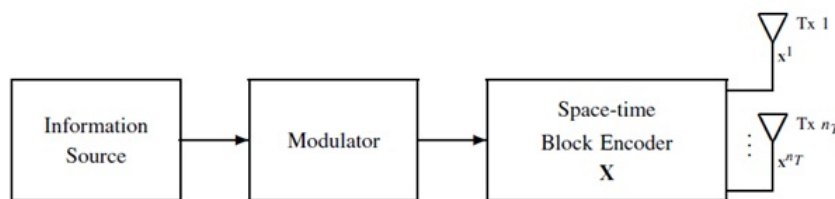


FIGURE 1.6 – codeur spatio-temporel

R est le rendement (rate) du STBC défini comme le rapport entre K et p.

$$R = \frac{K}{P}$$

La capacité spectrale du stbc est :

$$\eta = \frac{r_b}{B} = \frac{r_s \cdot m \cdot R}{r_s} = \frac{K \cdot m}{p} \text{ bits/s/Hz}$$

r_b : débit binaire (Bit rate).

r_s : débit de symbole (symbole rate).

B : la bande passante.

Les entrées du STBC sont des combinaisons linéaires des k symboles modulés et leurs conjugués. Pour avoir une diversité totale de n, la matrice X est construite de tel manière à avoir un système orthogonale.

$$X \cdot X^H = C(|x_1|^2 + |x_2|^2 + \dots + |x_k|^2) \cdot I_n$$

tel que :

C : Constante.

I_n : matrice identité de n x n.

la i^e ligne de X représente les symboles transmis par la i^e antenne dans p périodes consécutives.

La j^e colonne de X représente les symboles transmis simultanément par n antennes dans le temps j.

la j^e colonne est prise comme un espace time symbole transmis au temps j .
 les éléments de la matrice X , $x_{i,j}$ $\{i = 1, \dots, n, j = 1, \dots, p\}$ représentent les signaux transmis par l'antenne i au temps j .

Le rendement d'un code d'un bloc spatio-temporel à une diversité totale est $R \leq 1$. On note X_n la matrice de transmission et est appelé le code spatio-temporel de taille n . Rappelons que le système est orthogonale cela veut dire que dans chaque bloc la séquence des signaux de chaque 2 antennes sont orthogonaux. Cela permettra d'attendre la diversité totale ainsi que le découplage facile par le récepteur.

Selon le type de constellation on peut classifier les codes spatio-temporel en codes à signaux réels et codes à signaux complexes.

1.6.2.1 STBC pour une constellation réelle :

Si on prend la matrice X_n carrée pour une constellation arbitraire de M-ASK, le code spatio-temporel à matrice de transmission carrée $n \times n$ existe si est seulement si $n = 2, 4, 8$ ces codes sont de rendement $R=1$ est de diversité totale de n [1].

Pour un bloc de k symboles modulés, le nombre d'antenne de transmission n est égal au nombre de période de transmission p qui sont égaux à la taille du bloc message k . D'où pas besoin d'une expansion de la bande passante est le code peut atteindre un rendement de 1 [1].

$$X_2 = \begin{bmatrix} x_1 & -x_2 \\ x_2 & x_1 \end{bmatrix} \quad (1.4)$$

$$X_4 = \begin{bmatrix} x_1 & -x_2 & -x_3 & -x_4 \\ x_2 & x_1 & x_4 & -x_3 \\ x_3 & -x_4 & x_1 & x_2 \\ x_4 & x_3 & -x_2 & x_1 \end{bmatrix} \quad (1.5)$$

pour n antennes la valeur minimum de période de transmission pour atteindre un rendement totale est : $\min(2^{4c+d})$ tel que : $c, d | 0 \leq c, 0 \leq d \leq 4$ et $8c + 2d \geq n$

Pour $n \leq 8$:

$n = 2, p = 2$

$n = 3, p = 4$

$n = 4, p = 4$

$n = 5, p = 8$

$n = 6, p = 8$

$n = 7, p = 8$

$n = 8, p = 8$

D'où les matrices X_3, X_5, X_6, X_7 sont de diversité et rendement totale. Comme l'entrée de codeur spatio-temporel est un bloc de 8 symboles d'une constellation réel on retrouve les 8 symboles dans les périodes de transmissions donc pas besoin d'une expansion de la bande passante.

1.6.2.2 STBC pour une constellation complexe :

Le code d'Alamouti fournit un rendement totale juste pour une matrice carrée de 2×2 [1].

$$X_2^c = \begin{bmatrix} x_1 & -x_2^* \\ x_2 & x_1^* \end{bmatrix} \quad (1.6)$$

Pour un nombre plus grand que deux d'antennes, le but c'est de construire une matrice à rendement maximum avec une complexité faible du codage, de même le nombre de période doit être minimiser pour minimiser le temps de codage.

On peut trouver des matrices X_3^c, X_4^c à rendement $1/2$. Comme on peut trouver X_3^h, X_4^h à rendement $3/4$ [1].

$$X_3^c = \begin{bmatrix} x_1 & -x_2 & -x_3 & -x_4 & x_1^* & -x_2^* & -x_3^* & -x_4^* \\ x_2 & x_1 & x_4 & -x_3 & x_2^* & x_1^* & x_4^* & -x_3^* \\ x_3 & -x_4 & x_1 & x_2 & x_3^* & -x_4^* & x_1^* & x_2^* \end{bmatrix} \quad (1.7)$$

$$X_4^c = \begin{bmatrix} x_1 & -x_2 & -x_3 & -x_4 & x_1^* & -x_2^* & -x_3^* & -x_4^* \\ x_2 & x_1 & x_4 & -x_3 & x_2^* & x_1^* & x_4^* & -x_3^* \\ x_3 & -x_4 & x_1 & x_2 & x_3^* & -x_4^* & x_1^* & x_2^* \\ x_4 & x_3 & -x_2 & x_1 & x_4^* & x_3^* & -x_2^* & x_1^* \end{bmatrix} \quad (1.8)$$

$$X_3^h = \begin{bmatrix} x_1 & -x_2^* & \frac{x_3^*}{\sqrt{2}} & \frac{x_3^*}{\sqrt{2}} \\ x_2 & x_1^* & \frac{x_3^*}{\sqrt{2}} & \frac{-x_3^*}{\sqrt{2}} \\ \frac{x_3}{\sqrt{2}} & \frac{(-x_1-x_1^*+x_2-x_2^*)}{\sqrt{2}} & \frac{x_1-x_1^*+x_2+x_2^*}{\sqrt{2}} & \end{bmatrix} \quad (1.9)$$

$$X_4^h = \begin{bmatrix} x_1 & -x_2^* & \frac{x_3^*}{\sqrt{2}} & \frac{x_3^*}{\sqrt{2}} \\ x_2 & x_1^* & \frac{x_3^*}{\sqrt{2}} & \frac{-x_3^*}{\sqrt{2}} \\ \frac{x_3}{\sqrt{2}} & \frac{(-x_1-x_1^*+x_2-x_2^*)}{\sqrt{2}} & \frac{x_1-x_1^*+x_2+x_2^*}{\sqrt{2}} & \\ \frac{x_3}{\sqrt{2}} & \frac{-x_3}{\sqrt{2}} & \frac{(x_1-x_1^*-x_2-x_2^*)}{\sqrt{2}} & \frac{(-x_1-x_1^*-x_2+x_2^*)}{\sqrt{2}} \end{bmatrix} \quad (1.10)$$

1.7 Emission :

L'émission se résume sur 3 étapes. La première est la source d'information qui envoie un signal numérique, suivie d'une modulation par (un modulateur BPSK ou QAM) et enfin codé par le codeur d'Alamouti (voir figure 1.7)

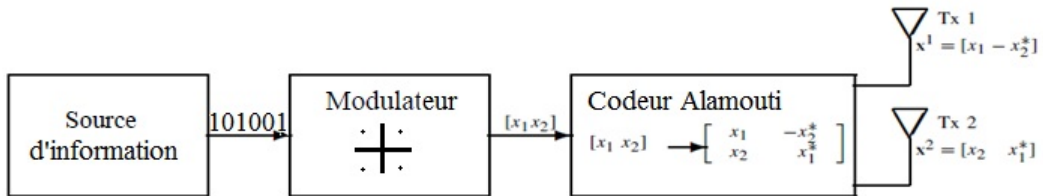


FIGURE 1.7 – Chaîne d'émission

1.7.1 Modulation :

1.7.1.1 Modulation bpsk :

Pour cette modulation un seul bit est traité (Voir : code vhdl en Annexe B) tel que :

Symboles	Modulation
1	1
0	-1

TABLE 1.1 – Tableau de la modulation BPSK

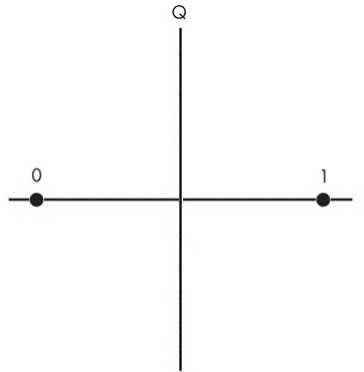


FIGURE 1.8 – Constellation BPSK

1.7.1.2 Modulation QAM :

Les symboles (informations) sont de taille 2 bits. Les signaux générés par le modulateur présentent deux composantes (Partie Réelle, imaginaire) comme suit :

Symboles	Modulation
10	$1 - i$
00	$-1 - i$
01	$-1 + i$
11	$1 + i$

TABLE 1.2 – Tableau de la modulation QAM

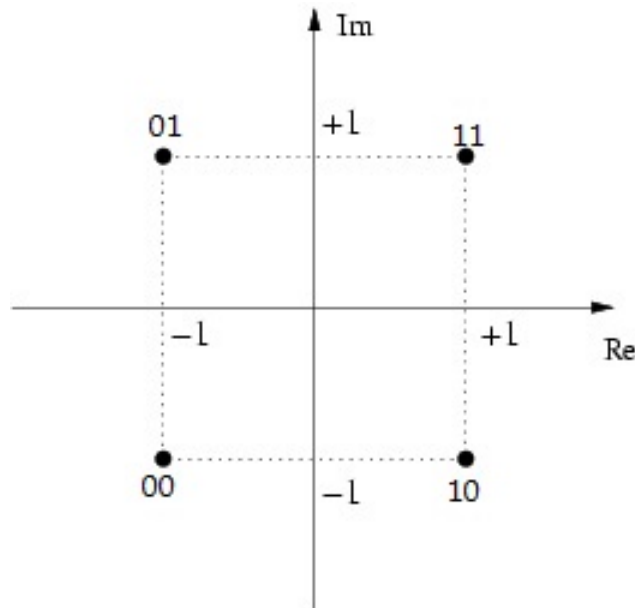


FIGURE 1.9 – Constellation QAM

Voir :code vhdl en Annexe B.

1.7.2 Codage spatio-temporel d'Alamouti :

Le code d'alamouti est le premier code qui atteint une diversité totale pour 2 antennes. Un M-array est utilisé pour la modulation. Chaque groupe de m bits d'information est modulé, tel que $m = \log_2 M$. Le codeur prend un bloc de 2 symboles modulés x_1 et x_2 pour chaque opération de codage et les transmet aux antennes de transmission selon une matrice de code[1].

$$X = \begin{bmatrix} x_1 & -x_2^* \\ x_2 & x_1^* \end{bmatrix} \quad (1.11)$$

Les colonnes de la matrice representent les periodes de transmission $t, t + 1$. Les lignes representent les antennes. Durant la première période, la première antenne transmet le symbole x_1 et la deuxième transmet x_2 . Durant la période qui suit la première transmet $-x_2^*$ et la deuxième transmet x_1^* [1]. La matrice du code possède la propriété d'orthogonalité suivante :

$$X.X^H = \begin{bmatrix} |x_1|^2 + |x_2|^2 & 0 \\ 0 & |x_1|^2 + |x_2|^2 \end{bmatrix} = (|x_1|^2 + |x_2|^2)I_2 \quad (1.12)$$

Le rendement du code d'alamouti pour 2 antennes est $R = 1$.

la capacité spectrale pour BPSK $m = 1$ est de : $\eta = 1$ et pour le QAM $m = 2$ est de $\eta = 2$. Pour permettre au recepeteur d'avoir le CSI, le codeur envoie dans un premier temps une séquence d'identification dont le récepteur connait aussi.

1.7.2.1 Performance du code d'Alamouti

Soit B la matrice différence de mots de code[9] :

$$B(X, \widehat{X}) = \begin{bmatrix} x_1 - \widehat{x}_1 & -x_2^* + \widehat{x}_2^* \\ x_2 - \widehat{x}_2 & x_1^* - \widehat{x}_1^* \end{bmatrix} \quad (1.13)$$

Soit X la matrice distance de mot de code (CDM) :

$$A(X, \widehat{X}) = B(X, \widehat{X})B^H(X, \widehat{X}) \begin{bmatrix} |x_1 - \widehat{x}_1|^2 + |x_2 - \widehat{x}_2|^2 & 0 \\ 0 & |x_1 - \widehat{x}_1|^2 + |x_2 - \widehat{x}_2|^2 \end{bmatrix} \quad (1.14)$$

Le minimum de distance entre chaque 2 codes transmit reste le même que celui d'un système non codé. Donc, le code d'Alamouti ne génère pas de gain de codage (CGD).

$$G_c = \frac{(\lambda_1 \lambda_2)^{1/2}}{d_E^2} = 1$$

(1.15)

Tel que les valeurs propres de la matrice distance du mot de code est égale à la distance euclidienne.

$$d_E^2(X, \widehat{X}) = |x_1 - \widehat{x}_1|^2 + |x_1 - \widehat{x}_1|^2 + |x_2 - \widehat{x}_2|^2$$

(1.16)

La performance du code d'Alamouti, sur un canal de Rayleigh quasi-statique, à évanouissement est illustré sur la figure 1.10. Le système étudié est constitué d'une seule antenne de réception et utilise une modulation QPSK. On trace sur la figure 1.10, la probabilité d'erreur par symbole, en fonction du SNR. Comme nous pouvons le constater, la performance du code d'Alamouti avec deux antennes d'émission est bien meilleure que celle d'un système à une antenne d'émission. Pour un taux d'erreur par symbole de 10^{-3} le code d'Alamouti offre un gain de 11 dB. Ce qui est plus important de constater encore, c'est que plus le SNR augmente, plus l'écart de performance entre les deux systèmes augmente. En fait le taux d'erreur diminue de façon inversement proportionnel au carré du SNR[4].

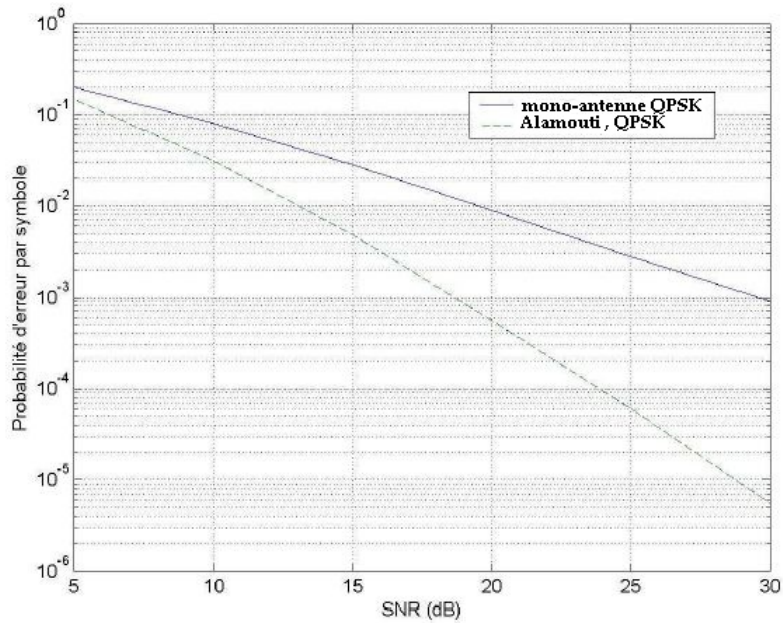


FIGURE 1.10 – performance du code d’alamouti

1.8 Réception

Après passage des signaux par le canal, la séquence d’apprentissage du canal pour avoir le CSI passe à travers l’estimateur du canal pour tirer la matrice du canal qui va être envoyée après vers le décodeur qui reçoit les signaux sortant du canal.

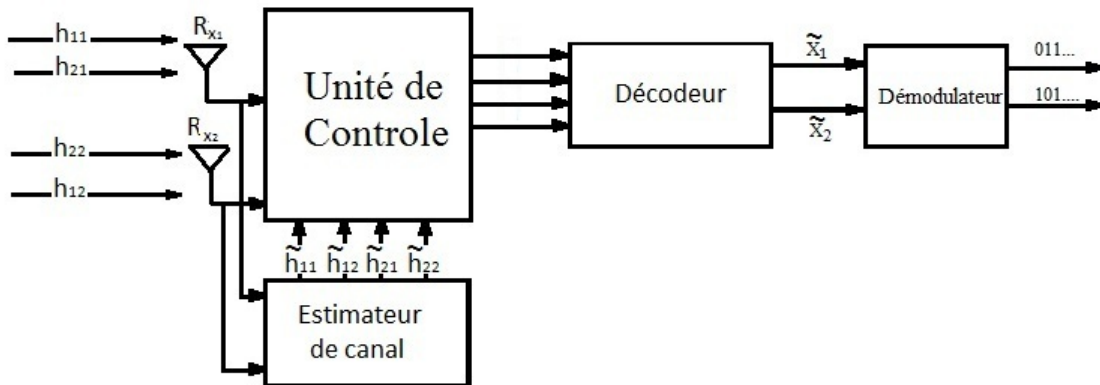


FIGURE 1.11 – Chaîne de réception

1.8.1 Décodage

Les signaux reçus à la réception sont selon l’équation suivante :

$$y = \begin{bmatrix} h_{11} & h_{12} \\ h_{21} & h_{22} \end{bmatrix} \begin{bmatrix} x_1 & -x_2^* \\ x_2 & x_1^* \end{bmatrix} + \begin{bmatrix} e_{11} & e_{12} \\ e_{21} & e_{22} \end{bmatrix} \quad (1.17)$$

$$y = \begin{bmatrix} r_{11} & r_{12} \\ r_{21} & r_{22} \end{bmatrix} \quad (1.18)$$

$$r_{11} = h_{11}x_1 + h_{12}x_2 + e_{11} \quad (1.19)$$

$$r_{12} = -h_{11}x_2^* + h_{12}x_1^* + e_{12} \quad (1.20)$$

$$r_{21} = h_{21}x_1 + h_{22}x_2 + e_{21} \quad (1.21)$$

$$r_{22} = -h_{21}x_2^* + h_{22}x_1^* + e_{22} \quad (1.22)$$

$$\begin{cases} \widetilde{x}_1 &= h_{11}^*r_{11} + h_{12}r_{12}^* + h_{21}^*r_{21} + h_{22}r_{22}^* \\ \widetilde{x}_2 &= h_{12}^*r_{11} - h_{11}r_{12}^* + h_{22}^*r_{21} - h_{21}r_{22}^* \end{cases} \quad (1.23)$$

En developpant la multiplication entre complexe et en séparant la partie réelle de la partie imaginaire on trouve :

$$\begin{aligned} \widetilde{x}_{1re} &= Re(h_{11})Re(r_{11}) + Im(h_{11})Im(r_{11}) + Re(h_{12})Re(r_{12}) + Im(h_{12})Im(r_{12}) \\ &\quad + Re(h_{21})Re(r_{21}) + Im(h_{21})Im(r_{21}) + Re(h_{22})Re(r_{22}) + Im(h_{22})Im(r_{22}) \end{aligned} \quad (1.24)$$

$$\begin{aligned} \widetilde{x}_{1im} &= Re(h_{11})Im(r_{11}) - Im(h_{11})Re(r_{11}) - Re(h_{12})Im(r_{12}) + Im(h_{12})Re(r_{12}) \\ &\quad + Re(h_{21})Im(r_{21}) - Im(h_{21})Re(r_{21}) - Re(h_{22})Im(r_{22}) + Im(h_{22})Re(r_{22}) \end{aligned} \quad (1.25)$$

$$\begin{aligned} \widetilde{x}_{2re} &= Re(h_{12})Re(r_{11}) + Im(h_{12})Im(r_{11}) - Re(h_{11})Re(r_{12}) - Im(h_{11})Im(r_{12}) \\ &\quad + Re(h_{22})Re(r_{21}) + Im(h_{22})Im(r_{21}) - Re(h_{21})Re(r_{22}) - Im(h_{21})Im(r_{22}) \end{aligned} \quad (1.26)$$

$$\begin{aligned} \widetilde{x}_{2im} &= Re(h_{12})Im(r_{11}) - Im(h_{12})Re(r_{11}) + Re(h_{11})Im(r_{12}) - Im(h_{11})Re(r_{12}) \\ &\quad + Re(h_{22})Im(r_{21}) - Im(h_{22})Re(r_{21}) + Re(h_{21})Im(r_{22}) - Im(h_{21})Re(r_{22}) \end{aligned} \quad (1.27)$$

1.8.2 Estimateur du canal :

La matrice X sortant du codeur passe par le canal H pour arriver au recepneur.

Si le recepneur peut extraire les coeffecients du canal d'où la matrice du canal, elle sera utilisé par le décodeur comme l'information sur l'etat du canal (channel state information (CSI)).

En partant de la théorie, on peut déterminer les coeffecients H_{ij} de la manière suivante :

Dès que l'estimateur reçoit la séquence d'identification et sachant qu'il connait les signaux d'origines, il peut extraire la matrice H comme suit :

$$\hat{H} = Y_c X_c^H (X_c X_c^H)^{-1} \quad (1.28)$$

Tel que :

X_c est la matrice connue envoyé par l'émetteur.

Y_c est la matrice reçu.

$(.)^H$ est la matrice Hermitienne conjuguée.

l'équation 1.28 dépend de la séquence d'apprentissage qui est faite de telle manière qu'elle satisfait l'équation suivante :

$$X_c X_c^H = \rho^2 I \quad (1.29)$$

Sachant que après passage de la séquence par le canal on a :

$$Y_c = H X_c + E \quad (1.30)$$

Et en substituant l'équation 1.30 dans 1.28 on obtient :

$$\begin{aligned} \hat{H} &= (H X_c + E) X_c^H (X_c X_c^H)^{-1} \\ &= H X_c X_c^H (X_c X_c^H)^{-1} + X_c^H (X_c X_c^H)^{-1} E \\ &= H + E X_c^H \rho^{-2} I \\ &= H + \text{terme d'erreur} \end{aligned} \quad (1.31)$$

1.9 Conclusion

Nous avons présenté dans ce chapitre les fondements théoriques des techniques de codage / décodage spatio-temporels des systèmes MIMO.

Il est montré notamment que la méthode d'Alamouti présente d'excellentes performances en terme de décodage (simplicité, diversité (maximale) et de rendement (unitaire).

Ces performances feront l'objet d'une étude en simulation dans le chapitre suivant.

Chapitre 2

Simulation

2.1 introduction

Dans cette partie, le codeur/ décodeur d'Alamouti sera validé par une simulation de haut niveau à l'aide de l'outil Matlab(Simulink). Le schéma bloc utilisé est celui traité dans le chapitre précédent. Des blocs pour le décodage et l'estimation seront ajoutés selon la partie théorique déjà traité.

2.2 Simulation Matlab(Simulink) :

Nous avons décrit en MATLAB les principaux blocs intervenant dans la chaine de décodage d'Alamouti.

2.2.1 Estimateur de canal :

Le décodage d'Alamouti exige la connaissance en temps réel des caractéristiques du canal, l'estimateur a été développé en MATLAB pour satisfaire cette exigence(chan_est.m). Le code source pour l'estimateur du canal peut être trouvé dans l'annexe A.2

2.2.2 Décodeur d'Alamouti :

Le décodeur d'Alamouti est composé de 2 circuits, le combineur et le détecteur de symbole, le code Matlab (decodeur.m) décrit le fonctionnement du circuit. Le code source du décodeur peut être trouvé dans l'annexe A.3.

2.2.3 Simulateur de canal :

Pour le besoin de simulation, on a développé un canal de Rayleigh MIMO à base de composants SISO Rayleigh (voir : figure 2.1) et le bloc AWGN.

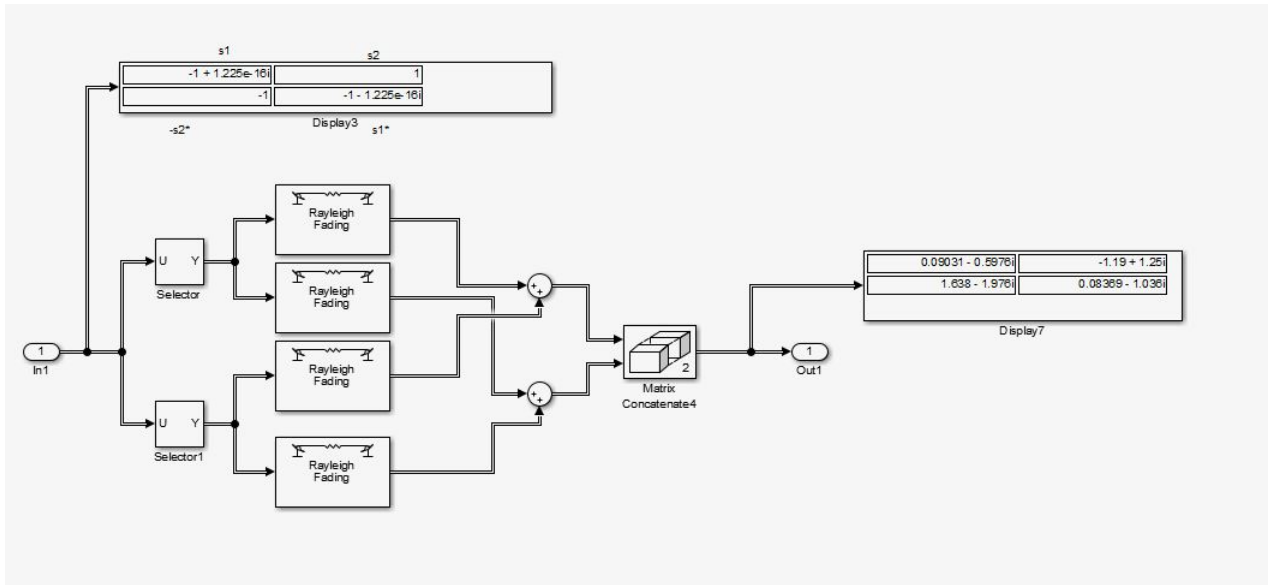


FIGURE 2.1 – canal de rayleighrayleigh

2.2.4 Résultats de la simulation MATLAB(Simulink) :

Le test est fait pour la modulation BPSK. On envoie des signaux aléatoire (en utilisant le générateur Binaire de Bernoulli) et on remarque bien que le décodeur arrive à extraire les signaux source.

La figure qui suit illustre le résultat de la simulation.

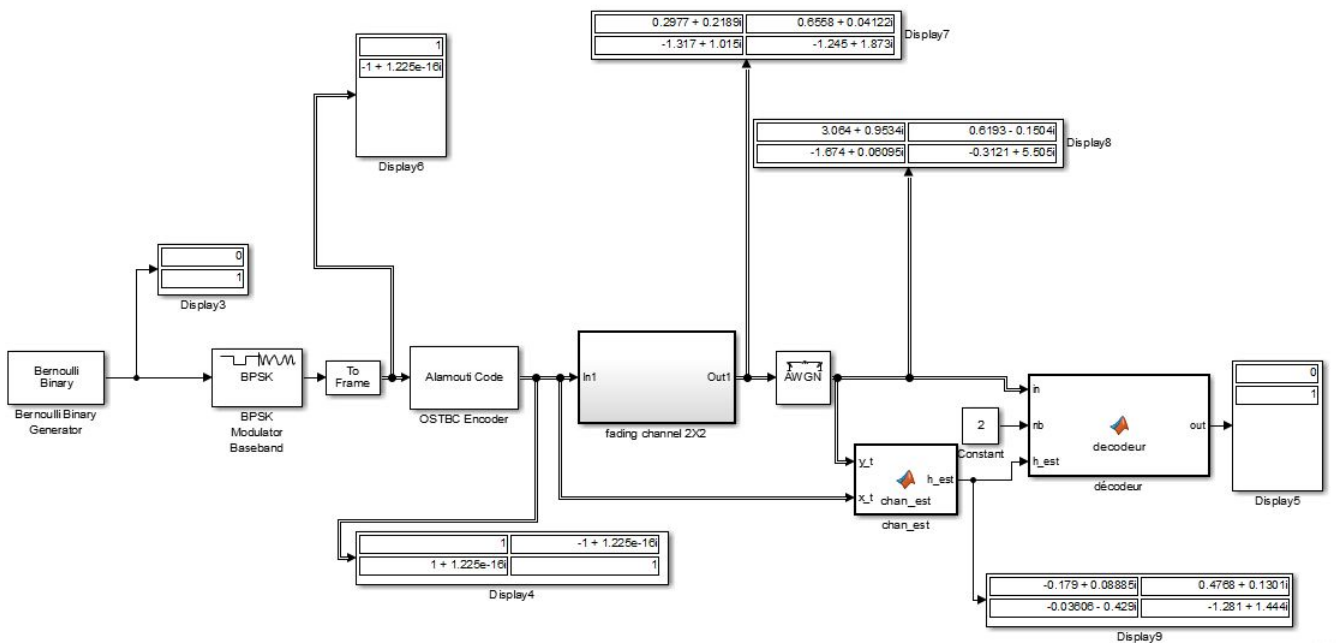


FIGURE 2.2 – schema simulink

La figure 2.2 montre un seul résultat, comme le décodeur utilise une décision soft et une autre Hard grâce au détecteur de seuil, le résultat final est soit un bit nul ou un tel que le bit 1 est pour le cas positif et le zéro pour le cas négatif, ce qui assure que le bruit n'affecte pas les sorties du décodeur.

2.3 Conclusion :

les résultats obtenus lors des simulations ont confirmé le bon fonctionnement du décodeur d'Alamouti.

L'implémentation sur la carte FPGA sera traité dans le prochain chapitre.

Chapitre 3

implémentation

3.1 introduction

Après vérification des codes par simulation, ce chapitre traitera la partie implémentation sur la carte FPGA ML501. les résultats de l'implémentation seront représentés.

3.2 Modélisation HDL :

Cette modélisation a été réalisé à l'aide de l'outil ModelSim de Mentor Graphics, qui fournit un environnement complet de simulation et débogage pour les designs matériels. Il supporte plusieurs langages de description[3]tel que :

- VHDL
- Verilog
- Verilog 2001
- SystemVerilog
- PSL
- SystemC

3.2.1 Codeur d'Alamouti :

Ce codeur suit la description donnée dans la section 1.7, avec un modulateur détaché. Il prends en entrée deux vecteurs (*std_logic_vector*) de 16 bits, 8 bits partie entière et 8 pour la partie fractionnaire. Donne comme sortie deux matrice (2×2) une qui contient les parties réelles et l'autre qui contient les parties imaginaires. Dans un premier lieu le codeur envoie une séquence d'apprentissage pour permettre l'estimation du canal. On a choisi les signaux $s_1 = 1 + i$ et $s_2 = 1 + i$ que l'estimateur connaît. Après cela, le temps de la séquence s'écoule le codeur commence à recevoir en entrée les sorties des modulateurs.

Le code vhdl peut être trouvé en annexe B.2.

3.2.2 estimateur :

L'estimateur reçoit la séquence d'apprentissage qui passent par le canal. Sachant que X_c est : $s_1 = 1 + i$ et $s_2 = 1 + i$

$$X_c = \begin{bmatrix} 1+i & -1+i \\ 1+i & 1-i \end{bmatrix} \quad (3.1)$$

On calcule la partie constante $X_c^H(X_cX_c^H)^{-1}$ qui sera prédefinie dans le code pour simplifier les opérations, on trouve :

$$X_c^H(X_cX_c^H)^{-1} = \begin{bmatrix} 1-i & 1-i \\ 1-i & -1+i \end{bmatrix} = \begin{bmatrix} 1 & 1 \\ 1 & -1 \end{bmatrix} + i \begin{bmatrix} -1 & -1 \\ -1 & 1 \end{bmatrix} \quad (3.2)$$

D'où :

$$H = \begin{bmatrix} r_{11c} & r_{12c} \\ r_{21c} & r_{22c} \end{bmatrix} \times \begin{bmatrix} 1-i & 1-i \\ 1-i & -1+i \end{bmatrix} \quad (3.3)$$

L'estimateur s'est simplifié pour devenir juste une multiplication entre complexe.

le Code VHDL peut etre retrouvé en annexe B.5.

3.2.3 Décodeur d'Alamouti :

Le bloc le plus important de ce décodeur est l'unité de control qui reçoit et affecte les valeurs nécessaire pour chaque bloc selon les équations (1.24),(1.25),(1.26),(1.27), le nombre de cycles d'horloge nécessaire pour le calcul est de 8 cycles.

En vue de simplifier la multiplication et diminuer le nombre de cycles d'où le temps de calcul, on modifie l'unité de control qui commande et affecte 8 opérandes sur 4 états (cycles) les valeurs selon le tableau 3.1 qui suit :

Opérande	1 ^{er} cycle	2 ^e cycle	3 ^e cycle	4 ^e cycle
a	$Re(h_{11})$	$Im(h_{11})$	$Re(h_{12})$	$Im(h_{12})$
b	$Re(r_{11})$	$Im(r_{11})$	$Re(r_{12})$	$Im(r_{12})$
c	$Im(r_{11})$	$Re(r_{11})$	$Im(r_{12})$	$Re(r_{12})$
d	$Re(h_{12})$	$Im(h_{12})$	$Re(h_{11})$	$Im(h_{11})$
a_2	$Re(h_{21})$	$Im(h_{21})$	$Re(h_{22})$	$Im(h_{22})$
b_2	$Re(r_{21})$	$Im(r_{21})$	$Re(r_{22})$	$Im(r_{22})$
c_2	$Im(r_{21})$	$Re(r_{21})$	$Im(r_{22})$	$Re(r_{22})$
d_2	$Re(h_{22})$	$Im(h_{22})$	$Re(h_{21})$	$Im(h_{21})$

TABLE 3.1 – tableau d'affectation des opérandes au décodeur

$$\begin{aligned} \tilde{x}_{1_re} &= \sum_{n=1}^4 (a_n b_n + a_{2n} b_{2n}), & \tilde{x}_{1_im} &= \sum_{n=1}^4 (a_n c_n + a_{2n} c_{2n}) \\ \tilde{x}_{2_re} &= \sum_{n=1}^4 (b_n d_n + b_{2n} d_{2n}), & \tilde{x}_{2_im} &= \sum_{n=1}^4 (d_n c_n + d_{2n} c_{2n}) \end{aligned}$$

Voici le schéma de la partie décodage.

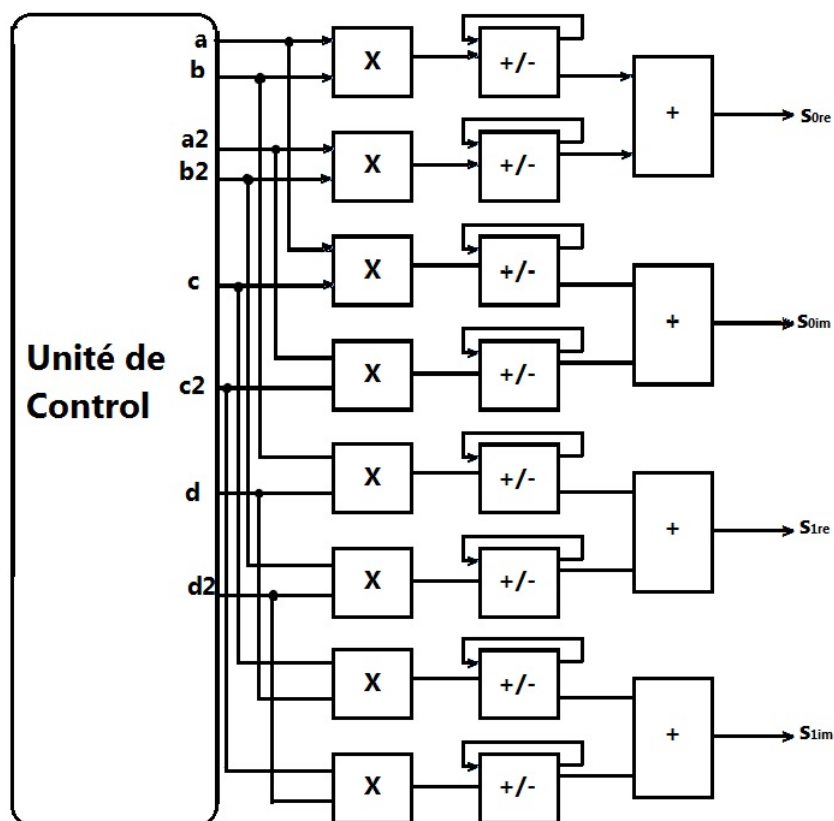


FIGURE 3.1 – décodeur

Le code vhdl du décodeur peut être trouvé en annexe B 2.4.

3.3 Simulateur du canal :

Pour tester notre décodeur, on a établi un bloc VHDL qui simule le canal de transmission. La fonction du canal étant la multiplication des matrices d'émission et celle du canal H.

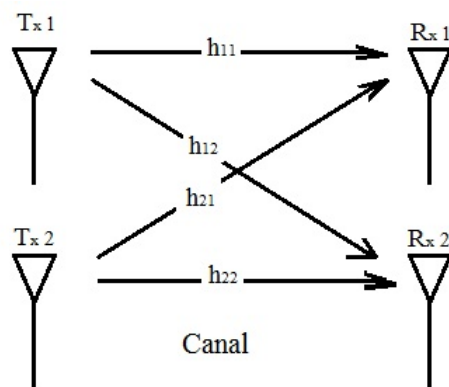


FIGURE 3.2 – Canal

la matrice du canal considérée est :

$$H = \begin{bmatrix} 128 + i48 & 192 + i64 \\ 64 + i192 & 48 + i128 \end{bmatrix} \quad (3.4)$$

La mutliplication entre complexe donne comme resultat :

$$\tilde{r}_{0re} = Re(h_{11})Re(x_{11}) - Im(h_{11})Im(x_{11}) + Re(h_{12})Re(x_{21}) - Im(h_{12})Im(x_{21}) \quad (3.5)$$

$$\tilde{r}_{1re} = Re(h_{11})Re(x_{12}) - Im(h_{11})Im(x_{11}) + Re(h_{12})Re(x_{22}) - Im(h_{12})Im(x_{22}) \quad (3.6)$$

$$\tilde{r}_{2re} = Re(h_{21})Re(x_{11}) - Im(h_{21})Im(x_{11}) + Re(h_{22})Re(x_{21}) - Im(h_{22})Im(x_{21}) \quad (3.7)$$

$$\tilde{r}_{3re} = Re(h_{21})Re(x_{12}) - Im(h_{21})Im(x_{12}) + Re(h_{22})Re(x_{22}) - Im(h_{22})Im(x_{22}) \quad (3.8)$$

$$\tilde{r}_{0im} = Re(h_{11})Im(x_{11}) + Im(h_{11})Re(x_{11}) + Re(h_{12})Im(x_{21}) + Im(h_{12})Re(x_{21}) \quad (3.9)$$

$$\tilde{r}_{1im} = Re(h_{11})Im(x_{12}) + Im(h_{11})Re(x_{12}) + Re(h_{12})Im(x_{22}) + Im(h_{12})Re(x_{22}) \quad (3.10)$$

$$\tilde{r}_{2im} = Re(h_{21})Im(x_{11}) + Im(h_{21})Re(x_{11}) + Re(h_{22})Im(x_{21}) + Im(h_{22})Re(x_{21}) \quad (3.11)$$

$$\tilde{r}_{3im} = Re(h_{21})Im(x_{12}) + Im(h_{21})Re(x_{12}) + Re(h_{22})Im(x_{22}) + Im(h_{22})Re(x_{22}) \quad (3.12)$$

Les valeurs de chaques opérandes sont affectées selon le tableau 3.4.

$$\begin{aligned} \tilde{r}_{11_re} &= \sum_{n=1}^4 a_n b_n, & \tilde{r}_{11_im} &= \sum_{n=1}^4 a_n d_n \\ \tilde{r}_{12_re} &= \sum_{n=1}^4 a_{2n} b_{2n}, & \tilde{r}_{12_im} &= \sum_{n=1}^4 a_{2n} d_{2n} \\ \tilde{r}_{21_re} &= \sum_{n=1}^4 b_n c_n, & \tilde{r}_{21_im} &= \sum_{n=1}^4 c_n d_n \\ \tilde{r}_{22_re} &= \sum_{n=1}^4 b_{2n} c_{2n}, & \tilde{r}_{22_im} &= \sum_{n=1}^4 c_{2n} d_{2n} \end{aligned}$$

Le code VHDL peut être trouvé en annexe B 2.3.

Opérande	1 ^{er} cycle	2 ^e cycle	3 ^e cycle	4 ^e cycle
a	$Re(h_{11})$	$Im(h_{11})$	$Re(h_{12})$	$Im(h_{12})$
b	$Re(x_{11})$	$Im(x_{11})$	$Re(x_{21})$	$Im(x_{21})$
c	$Re(h_{21})$	$Im(h_{21})$	$Re(h_{22})$	$Im(h_{22})$
d	$Im(x_{11})$	$Re(x_{11})$	$Im(x_{21})$	$Re(x_{21})$
a2	$Re(h_{11})$	$Im(h_{11})$	$Re(h_{12})$	$Im(h_{12})$
b2	$Re(x_{12})$	$Im(x_{12})$	$Re(x_{22})$	$Im(x_{22})$
c2	$Re(h_{21})$	$Im(h_{21})$	$Re(h_{22})$	$Im(h_{22})$
d2	$Im(x_{12})$	$Re(x_{12})$	$Im(x_{22})$	$Re(x_{22})$

TABLE 3.2 – Tableau d’affectation des opérands au canal

3.4 Résultats des simulations :

Dans le cas de la chaîne à modulateur QAM, nous avons injecté les signaux en entrée [input1,input2] ([00 , 01];[11, 10]) qui correspondent aux séquences [0100] et [1011] respectivement. Pour chaque signal le résultat de décodage apparait après 17 cycles d’horloges (voir la figure 3.3).

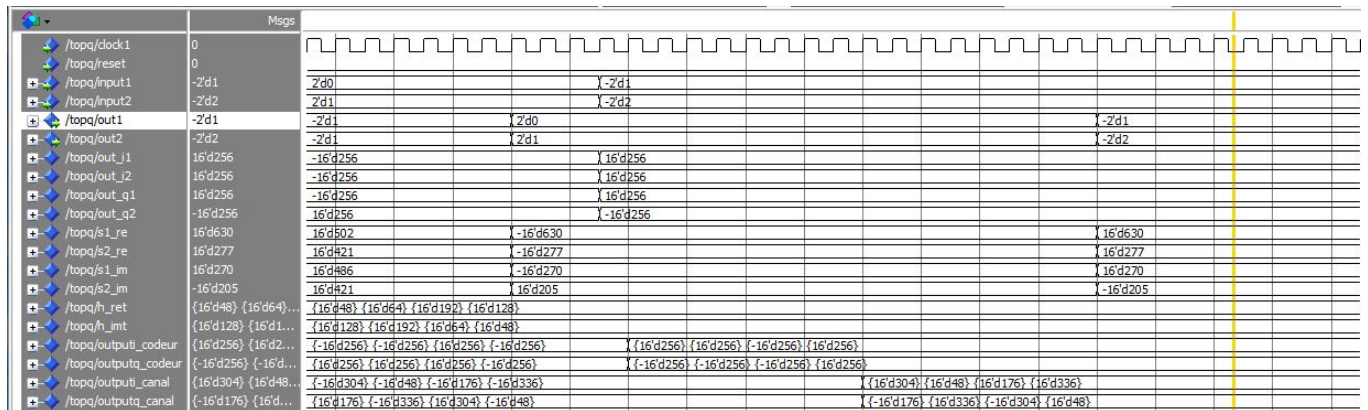


FIGURE 3.3 – Résultats de la simulation de QAM

Pour une modulation BPSK, Les signaux injectés en entrée sont [input1,input2] ([0,1];[1,1]) qui correspondent aux séquences [10] et [11] respectivement (voir la figure 3.4).

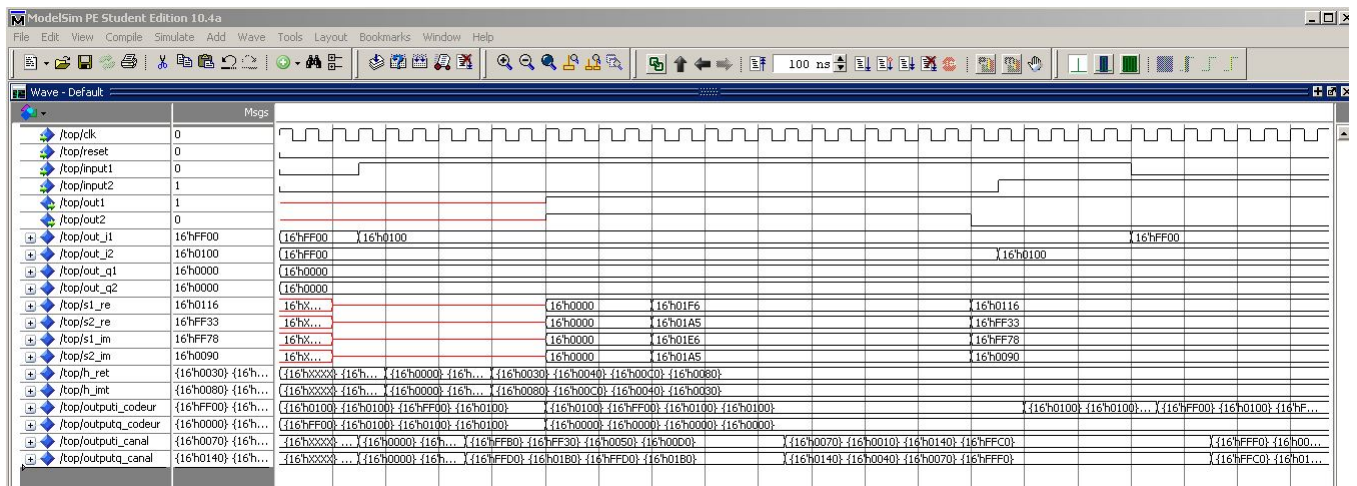


FIGURE 3.4 – Résultats de la simulation de BPSK

3.5 Implémentation sur FPGA

3.5.1 Premier contact :

PGA ML501 est un diapositive semi-conducteur programmable et reprogrammable. C'est le simulateur hard à prix d'implémentation et temps de cycle bas.

Outils nécessaires pour l'implémentation :

1. Xilinx ISE web pack 13.2 pour design, synthesis et implementation.
2. Carte FPGA ML501

3.5.2 Caractéristiques :

Les tableaux ci dessous résument les différentes horloges de l'FPGA ML501 et quelques pins ainsi que quelques LED dont on a utilisé.

Label	Clock Name	FPGA Pin	Description
X1	USER_CLK	AD8	100 MHz single-ended
U8	CLK_33MHZ_FPGA	AB12	33 MHz single-ended
U8	CLK_27MHZ_FPGA	AD13	27 MHz single-ended
U8	CLK_DIFF_FPGA_P	E16	200 MHz differential pair (pos)
U8	CLK_DIFF_FPGA_N	E17	200 MHz differential pair (neg)

FIGURE 3.5 – Horloges du ML501

Reference Designator	Label/Definition	Color	FPGA Pin	Buffered
DS20	LED North	Green	Y8	Yes
DS21	LED East	Green	Y18	Yes
DS22	LED South	Green	AA8	Yes
DS23	LED West	Green	AA18	Yes
DS24	LED Center	Green	T22	Yes
DS17	GPIO LED 0	Green	E13	Yes
DS16	GPIO LED 1	Green	D14	Yes
DS15	GPIO LED 2	Green	E12	Yes
DS14	GPIO LED 3	Green	F12	Yes
DS13	GPIO LED 4	Green	D15	No
DS12	GPIO LED 5	Green	E15	No
DS11	GPIO LED 6	Green	E10	No
DS10	GPIO LED 7	Green	E11	No
D56	Error 1	Red	N4	No
D55	Error 2	Red	P5	No

FIGURE 3.6 – Leds principales du ML501

SW4	FPGA Pin
GPIO_DIP_SW1	U4
GPIO_DIP_SW2	V3
GPIO_DIP_SW3	T4
GPIO_DIP_SW4	T5
GPIO_DIP_SW5	U6
GPIO_DIP_SW6	U5
GPIO_DIP_SW7	U7
GPIO_DIP_SW8	T7

FIGURE 3.7 – Switch utilisé du ML501

3.5.3 Résultats de l'implémentation :

Les Schémas RTL propre à la chaîne de transmission pour les deux modulations (QAM et BPSK) sont illustrés sur les figures (3.8) et (3.9), la figure (3.10) représente le schéma du décodeur.

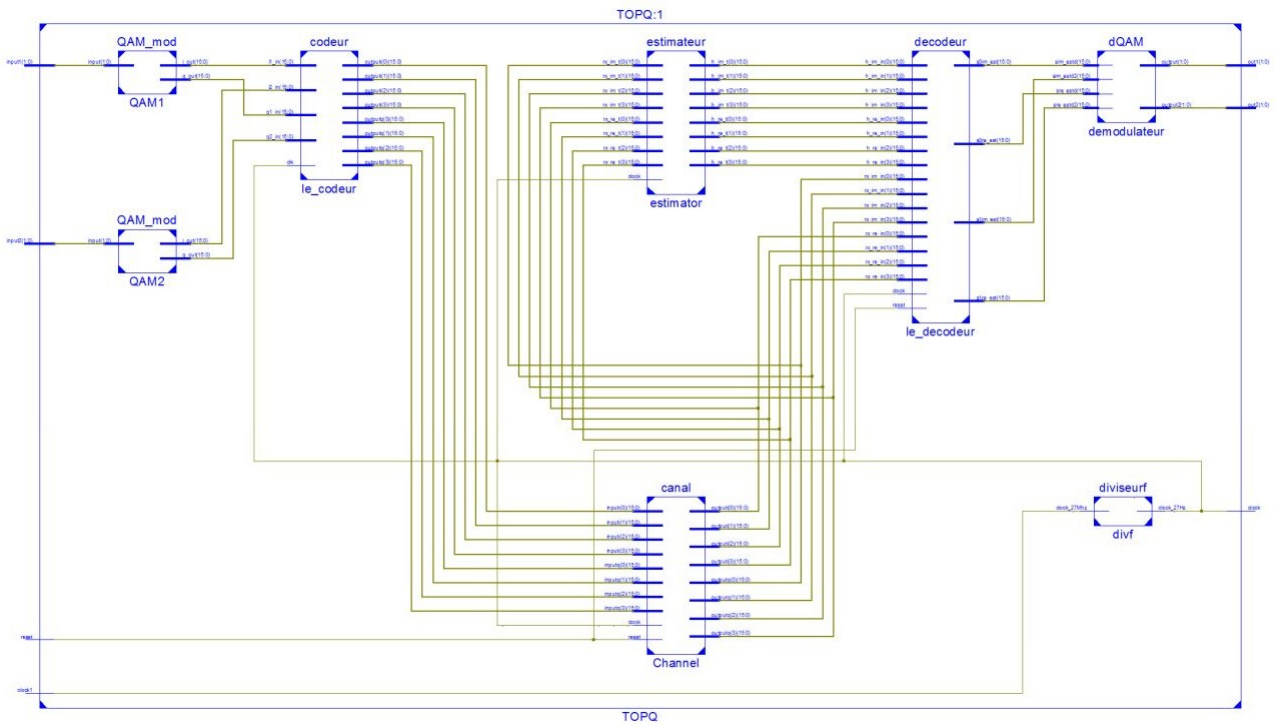


FIGURE 3.8 – Schéma RTL de la chaîne de transmission à modulateur QAM

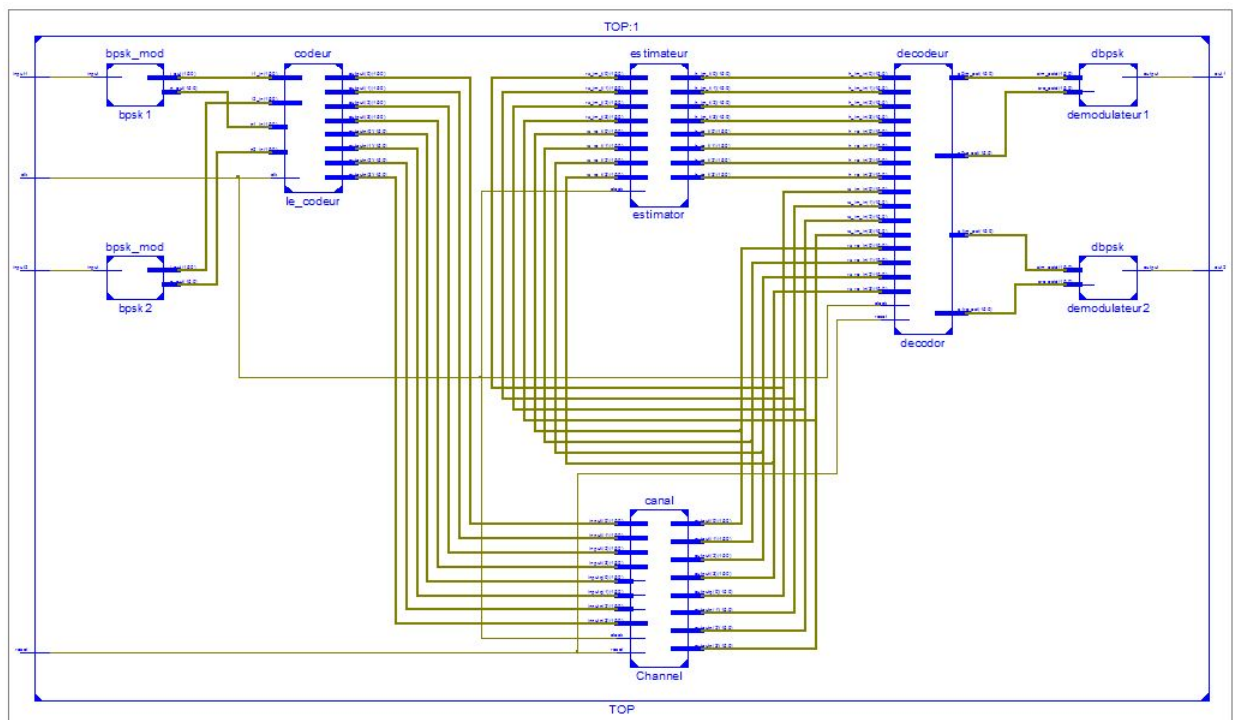


FIGURE 3.9 – Schéma RTL de la chaîne de transmission à modulateur BPSK

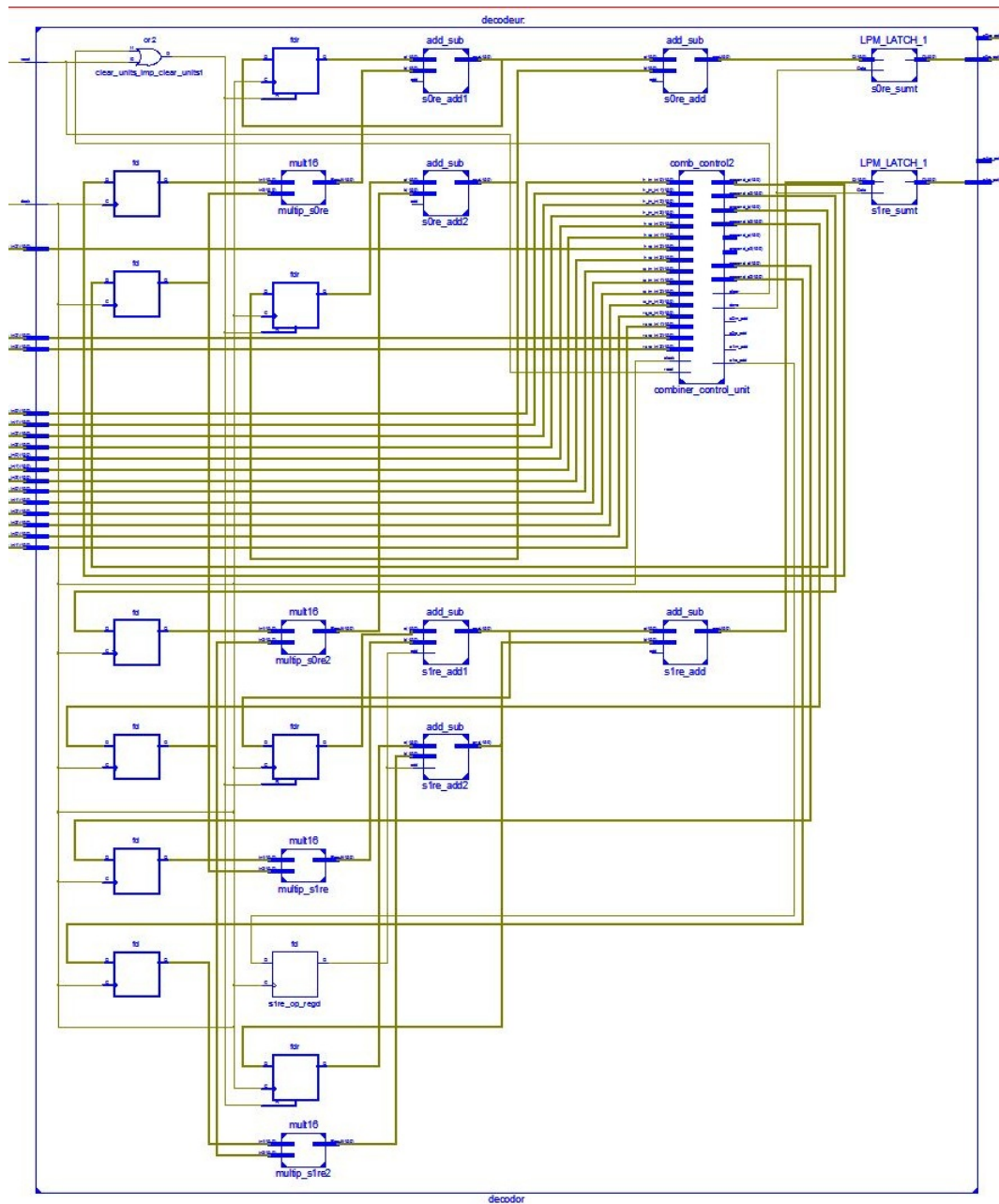


FIGURE 3.10 – Schéma RTL du Décodeur

La figure 3.11 représente le rapport du design fourni par l’outil XILINX, on remarque que les ressources utilisés sont raisonnables.

TOPQ Project Status (06/14/2017 - 17:06:37)			
Project File:	QAM.xise	Parser Errors:	No Errors
Module Name:	TOPQ	Implementation State:	Synthesized
Target Device:	xc5vlx50-1ff676	• Errors:	No Errors
Product Version:	ISE 14.7	• Warnings:	288 Warnings (0 new)
Design Goal:	Balanced	• Routing Results:	
Design Strategy:	Xilinx Default (unlocked)	• Timing Constraints:	
Environment:	System Settings	• Final Timing Score:	

Device Utilization Summary (estimated values)			
Logic Utilization	Used	Available	Utilization
Number of Slice Registers	914	28800	3%
Number of Slice LUTs	1123	28800	3%
Number of fully used LUT-FF pairs	626	1411	44%
Number of bonded IOBs	10	440	2%
Number of BUFG/BUFGCTRLs	1	32	3%
Number of DSP48Es	40	48	83%

FIGURE 3.11 – Rapport de Synthèse

Nous avons choisi pour notre test :

- Horloge : 27MHz, à l'aide d'un diviseur de fréquence on a réduit la fréquence à 27 Hz afin de vérifier le bon fonctionnement du code.
- Switch :
 1. U4 : Input1 (1).
 2. V3 : Input1 (0).
 3. T4 : Input2 (1).
 4. T5 : Input2 (0).
 5. T7 : pour le reset.
- Leds :
 1. D15 : output1 (1).
 2. E15 : output1 (0).
 3. E10 : output2 (1).
 4. E11 : output2 (0).



FIGURE 3.12 – Photographie du Kit FPGA durant l'implémentation

3.6 Conclusion

Dans ce chapitre nous avons commencé par une simulation à l'aide de l'outil Modelsim. Après validation des résultats, l'outil Xilinx ISE nous a permis de faire la synthèse de la chaîne de transmission, le rapport de synthèse a montré que les ressources utilisées dans la chaîne de transmission sont raisonnables comparées aux ressources disponibles sur la carte FPGA ce qui permet une amélioration en augmentant le nombre d'antennes, rendre le canal plus complexe ...etc

Conclusion et perspectives

Nous avons exposé les principes de base des systèmes de communication MiMo, nous avons étudié les codes spatio-temporels en bloc, un accent particulier a été mis sur la méthode d'Alamouti.

Nous avons développé un support logiciel simulant une chaîne de communications MIMO sous Matlab/Simulink qui nous a permis de tester et valider le codeur/décodeur d'Alamouti sous différents schémas de modulation.

Nous avons également développé en Vhdl les codes modélisant les circuits numériques du codeur/décodeur d'Alamouti ainsi que de quelques circuits associés tels que le simulateur de canal, l'estimateur de canal .

L'étude comportementale de notre design à l'aide de modelsim a montré l'efficacité de la technique d'Alamouti et la justesse de l'architecture conçue à cet effet.

Nous avons conclu notre travail par la synthèse et la projection de notre design sur circuit configurable, en l'occurrence le Fpga Virtex5, à l'aide de l'outil Ise de Xilinx.

En perspective nous suggérons que la méthodologie utilisée pour notre design soit étendue aux cas de l'utilisation d'un nombre d'antennes supérieur à 2 aussi bien en émission qu'en réception et de leurs associer des schémas de modulation à plusieurs points.

Il est possible également de recourir aux techniques itératives qui connaissent actuellement un engouement majeur pour décoder les codes spatio-temporels.

Bibliographie

[1] M. JANKIRAMAN «*space-time codes and MIMO systems*», Artech House Universal Personal Communications series, édition 2004.

[2] M. Farhad «*MATLAB - A Fundamental Tool for Scientific Computing and Engineering Applications*» - Volume 2, book edited by Vasilios N. Katsikis, ISBN 978 – 953 – 51 – 0751 – 4, Published : September 26, 2012 under CC BY 3.0 license.

[3] Modelsim, Mentor, a siemens business :
<https://www.mentor.com/products/fv/modelsim/>.

[4] F. Guillaume «*Codage spatio-temporel et techniques de décodage itératives pour systèmes multi-antennes*», Thèse de doctorat, Université de Limoges, Le 4 Juillet 2006.

[5] R. Ouertani, «*Algorithmes de décodage pour les systèmes multi-antennes à complexité réduite*», Théorie de l'information [cs.IT]. Télécom ParisTech, 2009. Français.
<pastel-00718214>

[6] K.U. Keshari, «*A Novel Rate-2 Space Time Block Code & implementation of its decoder*», Thèse de doctorat, Thapar University Patiala-147004 (PUNJAB), Juillet 2014.

[7] L. SCREMIN, «*Codage spatio-T pour Les systèmes Multi-Antennes de communications Sans-Fil*», Thèse de doctorat, école polytechnique de Montréal, Juin 2000.

[8] *Chapitre 1. Modulations multiporteuses et non linéarités*,
<http://www.becoz.org/these/memoirehtml/ch05s02.html>

[9] M. SAYED HASSAN, «*Codage spatio-temporel optimisé pour une concaténation série avec les codes correcteurs d'erreurs*», Thèse de doctorat, Télécom Bretagne, 22/10/2010

Code Matlab

Décodeur :

```
function [out]= decodeur(in,nb,x_t)
in_i=1;
out_i=1;
for block_i=1:(nb+ length(x_t)):columns(in)
a=out_i+1;
in_i1=in_i+1;
y_t= in(:,[in_i1 in_i1 in_i1 in_i1]);
%iteration
for sym_i=1:2:nb
y=in(:,[in_i1 in_i1]);
s0_squig=conj(H_est(1,1))*y(1,1)+H_est(1,2)*conj(y(1,2))+conj(H_est(2,1))*y(2,1)+H_est(2,2)*conj(y(2,2));
s1_squig=conj(H_est(1,2))*y(1,1)-H_est(1,1)*conj(y(1,2))+conj(H_est(2,2))*y(2,1)-H_est(2,1)*conj(y(2,2));
if real(s0_squig)<0
out(a)=0;
else
out(a)=1;
end
if real(s1_squig)<0
out(out_i++)=0;
else
out(out_i++)=1;
end
end %fin decodage
end %Fin de loop
end
```

Estimateur :

```
1 function h_est = chan_est(y_t,x_t)
2
3 - h_est=y_t* x_t'*inv(x_t*x_t');
4
5 end
```

Code VHDL

Librairie mes_types :

```
library IEEE;
use IEEE.STD_LOGIC_1164.ALL;
use ieee.numeric_std.ALL;
use ieee.std_logic_SIGNED.all;

package mes_types is
type matrix is array(3 downto 0) of std_logic_vector(15 downto 0);
end mes_types;

package body mes_types is

end mes_types;
```

Modulateur :

Modulateur BPSK :

```
library IEEE;
use IEEE.STD_LOGIC_1164.ALL;
use ieee.std_logic_arith.all;
use ieee.std_logic_SIGNED.all;

entity bpsk_mod is
port(input :in std_logic;
      i_out, q_out : out std_logic_vector(15 downto 0)
);
end bpsk_mod;

architecture Behavioral of bpsk_mod is

begin
with input select
  ----- 1+i0    § -1+i0
  i_out <="00000000100000000" when '1',    ----- 1
         "11111111100000000" when others;  ----- -1
  q_out <="00000000000000000";

end Behavioral;
```

Modulateur QAM :

```
library IEEE;
use IEEE.STD_LOGIC_1164.ALL;
use ieee.numeric_std.ALL;

library work;
use work.mes_types.all;

entity QAM_mod is port(
    input      : in std_logic_vector(1 downto 0);
    i_out,q_out : out std_logic_vector(15 downto 0)
);
end QAM_mod;

architecture Behavioral of QAM_mod is
begin
my_process: process(input)
begin
    case (input) is
        when "11" =>
            i_out <="000000001000000000";
            q_out <="000000001000000000";
        when "10" =>
            i_out <="000000001000000000";
            q_out <="111111111000000000";
        when "01" =>
            i_out <="111111111000000000";
            q_out <="000000001000000000";
        when "00" =>
            i_out <="111111111000000000";
            q_out <="111111111000000000";
        when others =>
            i_out <="000000000000000000";
            q_out <="000000000000000000";
    end case;
end process;
end Behavioral;
```

Codeur :

```
1  library IEEE;
2  use IEEE.STD_LOGIC_1164.ALL;
3  use ieee.numeric_std.ALL;
4  use ieee.std_logic_SIGNED.all;
5
6  library work;
7  use work.mes_types.all;
8  entity codeur is
9  port (
10     clk           : in std_logic;
11     i1_in,i2_in  : in std_logic_vector(15 downto 0);
12     q1_in,q2_in  : in std_logic_vector(15 downto 0);
13     outputi: out matrix;
14     outputq: out matrix
15 );
16 end codeur;
17
18 architecture Behavioral of codeur is
19 signal compt : integer:=0;
20 signal C : matrix:=("000000001000000000", "000000001000000000", "111111110000000000", "000000001000000000");
21 signal C2: matrix:=("111111110000000000", "000000001000000000", "000000001000000000", "000000001000000000");
22 begin
23
24 process (clk)
25 begin
26 if (Clk'event and Clk='1') then
27 if (Compt<10) then
28     Compt <=Compt+1;
29 outputi<=C;
30 outputq<=C2;
31 else
32 outputi(0)<=i1_in;
33 outputi(1)<=-i2_in;
34 outputi(2)<=i2_in;
35 outputi(3)<=i1_in;
36 outputq(0)<=q1_in;
37 outputq(1)<=q2_in;
38 outputq(2)<=q2_in;
39 outputq(3)<=-q1_in;
40     end if;
41     end if;
42     end process;
43 end Behavioral;
```

Simulateur de Canal :

Canal :

```
1  library IEEE;
2  use IEEE.STD_LOGIC_1164.ALL;
3  use ieee.numeric_std.ALL;
4
5  library work;
6  use work.mes_types.all;
7
8  entity canal is
9  port(
10 reset : in std_logic;
11 clock : in std_logic;
12 inputi : in matrix;
13 inputq : in matrix;
14 outputi: out matrix;
15 outputq: out matrix
16
17 );
18 end canal;
19
20 architecture Behavioral of canal is
21 component canal_control2
22 port(
23     clock : in std_logic;
24     reset: in std_logic;
25     rx_re_in: in matrix;
26     rx_im_in: in matrix;
27     --
28     operand_a :out std_logic_vector(15 downto 0);
29     operand_b :out std_logic_vector(15 downto 0);
30     operand_c :out std_logic_vector(15 downto 0);
31     operand_d :out std_logic_vector(15 downto 0);
32     operand_b2 :out std_logic_vector(15 downto 0);
33     operand_d2 :out std_logic_vector(15 downto 0);
34     ---

```

```

34     ---
35     r0re_add,r0im_add: out std_logic;
36     r1re_add,r1im_add: out std_logic;
37     r2re_add,r2im_add: out std_logic;
38     r3re_add,r3im_add: out std_logic;
39
40     done : out std_logic;
41     clear: out std_logic
42     );
43
44 end component;
45
46 component add_sub
47 port(
48     a: in std_logic_vector(15 downto 0);
49     b: in std_logic_vector(15 downto 0);
50     add:in std_logic;
51     ans:out std_logic_vector(15 downto 0)
52     );
53 end component;
54 component mult16
55 port
56 (
57     in1, in2: in std_logic_vector(15 downto 0);
58     Result: out std_logic_vector(15 downto 0)
59 );
60 end component;
61 -----
62 -----DECLARATION DES SIGNAUX-----
63 -----
64

```

```

100     signal r0re_sum: std_logic_vector(15 downto 0);
101     signal r0im_sum: std_logic_vector(15 downto 0);
102     signal r1re_sum: std_logic_vector(15 downto 0);
103     signal r1im_sum: std_logic_vector(15 downto 0);
104     signal r2re_sum: std_logic_vector(15 downto 0);
105     signal r2im_sum: std_logic_vector(15 downto 0);
106     signal r3re_sum: std_logic_vector(15 downto 0);
107     signal r3im_sum: std_logic_vector(15 downto 0);
108     ---
109     signal r0re_total: std_logic_vector(15 downto 0);
110     signal r0im_total: std_logic_vector(15 downto 0);
111     signal r1re_total: std_logic_vector(15 downto 0);
112     signal r1im_total: std_logic_vector(15 downto 0);
113     signal r2re_total: std_logic_vector(15 downto 0);
114     signal r2im_total: std_logic_vector(15 downto 0);
115     signal r3re_total: std_logic_vector(15 downto 0);
116     signal r3im_total: std_logic_vector(15 downto 0);
117     ----
118     signal r0re_op_regd :std_logic;
119     signal r0im_op_regd :std_logic;
120     signal r1re_op_regd :std_logic;
121     signal r1im_op_regd :std_logic;
122     signal r2re_op_regd :std_logic;
123     signal r2im_op_regd :std_logic;
124     signal r3re_op_regd :std_logic;
125     signal r3im_op_regd :std_logic;
126
127     signal done_i: std_logic;
128 -----
129 begin
130
131 clear_units <= reset or clear_control;
132
133 canal_control_unit: canal_control2 port map(
134

```

```
135     clock => clock,
136     reset => reset,
137     rx_re_in=>inputi,
138     rx_im_in=>inputq,
139     --
140     operand_a  => op_at,
141     operand_b  => op_bt,
142     operand_c  => op_ct,
143     operand_d  => op_dt,
144     operand_b2 => op_b2t,
145     operand_d2 => op_d2t,
146     ---
147     r0re_add=>r0re_op,
148     r0im_add=>r0im_op,
149     r1re_add=>r1re_op,
150     r1im_add=>r1im_op,
151     r2re_add=>r2re_op,
152     r2im_add=>r2im_op,
153     r3re_add=>r3re_op,
154     r3im_add=>r3im_op,
155     done=>done_i,
156     clear=>clear_control
157 );
158
```

```

159 process (clock)
160 begin
161 if (clock'event and clock ='1') then
162   r0re_op_regd <= r0re_op;
163   r0im_op_regd <= r0im_op;
164   r1re_op_regd <= r1re_op;
165   r1im_op_regd <= r1im_op;
166   r2re_op_regd <= r2re_op;
167   r2im_op_regd <= r2im_op;
168   r3re_op_regd <= r3re_op;
169   r3im_op_regd <= r3im_op;
170   op_a <=op_at;
171   op_b <=op_bt;
172   op_c <=op_ct;
173   op_d <=op_dt;
174   op_b2 <=op_b2t;
175   op_d2 <=op_d2t;
176 end if;
177 end process;
178 -----
179 ----registre et multiplicateurs
180 -----
181 multip_r0re: mult16 port map
182   (
183     in1=> op_a,
184     in2=> op_b ,
185     Result=>r0re_prod
186   );
187 multip_r1re: mult16 port map
188   (
189     in1=> op_a,
190     in2=> op_b2 ,
191     Result=>r1re_prod
192   );
193 -----

```

```

194  multip_r0im: mult16 port map
195  (
196      in1=> op_a,
197      in2=> op_d ,
198      Result=>r0im_prod
199  );
200  multip_rlim: mult16 port map
201  (
202      in1=> op_a,
203      in2=> op_d2,
204      Result=>rlim_prod
205  );
206  -----
207  multip_r2re: mult16 port map
208  (
209      in1=> op_b,
210      in2=> op_c ,
211      Result=>r2re_prod
212  );
213  multip_r3re: mult16 port map
214  (
215      in1=> op_c,
216      in2=> op_b2 ,
217      Result=>r3re_prod
218  );
219  -----
220  multip_r2im: mult16 port map
221  (
222      in1=> op_c,
223      in2=> op_d ,
224      Result=>r2im_prod
225  );

```

```
262 r2re_add: add_sub port map(  
263   a => r2re_total,  
264   b => r2re_prod,  
265   add => r2re_op_regd,  
266   ans => r2re_sum  
267 );  
268 r2im_add: add_sub port map(  
269   a => r2im_total,  
270   b => r2im_prod,  
271   add => r2im_op_regd,  
272   ans => r2im_sum  
273 );  
274  
275 r3re_add: add_sub port map(  
276   a => r3re_total,  
277   b => r3re_prod,  
278   add => r3re_op_regd,  
279   ans => r3re_sum  
280 );  
281 r3im_add: add_sub port map(  
282   a => r3im_total,  
283   b => r3im_prod,  
284   add => r3im_op_regd,  
285   ans => r3im_sum  
286 );  
287 -----  
288 -----registre-----  
289 -----
```

```

290 r0re_reg:process (clock)
291     begin
292     if (clock'event and clock ='1') then
293         if (clear_units='1') then
294             r0re_total <= x"0000";
295         else
296             r0re_total <= r0re_sum;
297         end if;
298     end if;
299     end process;
300
301 r0im_reg:process (clock)
302     begin
303     if (clock'event and clock ='1') then
304         if (clear_units='1') then
305             r0im_total <= x"0000";
306         else
307             r0im_total <= r0im_sum;
308         end if;
309     end if;
310     end process;
311 --
312 r1re_reg:process (clock)
313     begin
314     if (clock'event and clock ='1') then
315         if (clear_units='1') then
316             r1re_total <= x"0000";
317         else
318             r1re_total <= r1re_sum;
319         end if;
320     end if;
321     end process;
322

```

```

323 rlim_reg:process (clock)
324     begin
325     if (clock'event and clock ='1') then
326     if (clear_units='1') then
327     rlim_total <= x"0000";
328     else
329     rlim_total <= rlim_sum;
330     end if;
331     end if;
332     end process;
333 r2re_reg:process (clock)
334     begin
335     if (clock'event and clock ='1') then
336     if (clear_units='1') then
337     r2re_total <= x"0000";
338     else
339     r2re_total <= r2re_sum;
340     end if;
341     end if;
342     end process;
343
344 r2im_reg:process (clock)
345     begin
346     if (clock'event and clock ='1') then
347     if (clear_units='1') then
348     r2im_total <= x"0000";
349     else
350     r2im_total <= r2im_sum;
351     end if;
352     end if;
353     end process;
354

```

```

355 r3re_reg:process (clock)
356     begin
357         if (clock'event and clock ='1') then
358             if (clear_units='1') then
359                 r3re_total <=  x"0000";
360             else
361                 r3re_total <= r3re_sum;
362             end if;
363         end if;
364     end process;
365
366 r3im_reg:process (clock)
367     begin
368         if (clock'event and clock ='1') then
369             if (clear_units='1') then
370                 r3im_total <=  x"0000";
371             else
372                 r3im_total <= r3im_sum;
373             end if;
374         end if;
375     end process;
376
377 -----output assignments-----
378 -----
379 process(clock)
380 begin
381
381
382 if (clock'event and clock ='1') then
383 if (done_i='1') then
384 outputi(0)<=r0re_sum;
385 outputi(1)<=r1re_sum;
386 outputi(2)<=r2re_sum;
387 outputi(3)<=r3re_sum;
388
389 outputq(0)<=r0im_sum;
390 outputq(1)<=r1im_sum;
391 outputq(2)<=r2im_sum;
392 outputq(3)<=r3im_sum;
393 end if;
394 end if;
395 end process;
396 end Behavioral;

```

Contrôle du Canal :

```
library IEEE;
use IEEE.STD_LOGIC_1164.ALL;
use ieee.std_logic_SIGNED.all;

library work;
use work.mes_types.all;

entity canal_control2 is
port(
    clock    : in std_logic;
    reset    : in std_logic;
    rx_re_in: in matrix;
    rx_im_in: in matrix;
    --
    operand_a :out std_logic_vector(15 downto 0);
    operand_b :out std_logic_vector(15 downto 0);
    operand_c :out std_logic_vector(15 downto 0);
    operand_d :out std_logic_vector(15 downto 0);
    operand_b2 :out std_logic_vector(15 downto 0);
    operand_d2 :out std_logic_vector(15 downto 0);
    ---
    r0re_add,r0im_add: out std_logic;
    r1re_add,r1im_add: out std_logic;
    r2re_add,r2im_add: out std_logic;
    r3re_add,r3im_add: out std_logic;

    done : out std_logic;
    clear: out std_logic
);

end canal_control2;

architecture Behavioral of canal_control2 is
type state_type is (st_rst,st1,st2,st3,st4);
signal state, next_state : state_type;
signal op_a_i :std_logic_vector(15 downto 0);
signal op_b_i :std_logic_vector(15 downto 0);
signal op_c_i :std_logic_vector(15 downto 0);
signal op_d_i :std_logic_vector(15 downto 0);
signal op_b2_i :std_logic_vector(15 downto 0);
signal op_d2_i :std_logic_vector(15 downto 0);
```

```

signal r0re_add_i,r0im_add_i:std_logic;
signal r1re_add_i,r1im_add_i: std_logic;
signal r2re_add_i,r2im_add_i:std_logic;
signal r3re_add_i,r3im_add_i: std_logic;

signal rx_re_reg: matrix;
signal rx_im_reg: matrix;

signal h_re_reg : matrix := ("0000000000110000","0000000001000000","0000000011000000","0000000010000000");
signal h_im_reg : matrix := ("0000000010000000","0000000011000000","0000000010000000","0000000001100000");
-- (0.2+i0.5) (0.3+i0.8) (0.8+i0.3) (0.5+i0.2)

signal done_i :std_logic;
signal clear_i :std_logic;
begin
input_regs: process (clock,reset)
begin
if (clock'event and clock ='1') then --- effacement de data
if (reset='1') then
rx_re_reg <=(others =>x"0000");
rx_im_reg <=(others =>x"0000");

else if (state = st4) or (state= st_rst) then
rx_re_reg <=rx_re_in;
rx_im_reg <=rx_im_in;

end if;
end if;
end if;
end process;
sync_proc: process (clock,reset)
begin
if (clock'event and clock ='1') then
if (reset='1') then
state <= st_rst;
r0re_add <= '1';
r0im_add <= '1';
r1re_add <= '1';
r1im_add <= '1';
r2re_add <= '1';
r2im_add <= '1';
r3re_add <= '1';
r3im_add <= '1';

```

```

        operand_a <= x"0000";
        operand_b <= x"0000";
        operand_c <= x"0000";
        operand_d <= x"0000";
        operand_b2 <= x"0000";
        operand_d2 <= x"0000";

        done <= '0';
        clear <= '1';
    else
        state <= next_state;
        r0re_add <= r0re_add_i;
        r0im_add <= r0im_add_i;
        r1re_add <= r1re_add_i;
        r1im_add <= r1im_add_i;
        r2re_add <= r2re_add_i;
        r2im_add <= r2im_add_i;
        r3re_add <= r3re_add_i;
        r3im_add <= r3im_add_i;
        done <= done_i;
        clear <= clear_i;
        operand_a <= op_a_i;
        operand_b <= op_b_i;
        operand_c <= op_c_i;
        operand_d <= op_d_i;
        operand_b2 <= op_b2_i;
        operand_d2 <= op_d2_i;

        end if;
        end if;
    end process;

output_canal: process (state,h_re_reg,h_im_reg,rx_re_reg,rx_im_reg)
begin
case(state)is

```

```

when st_rst =>
  op_a_i    <=x"0000";
  op_b_i    <=x"0000";
  op_c_i    <=x"0000";
  op_d_i    <=x"0000";
  op_b2_i   <=x"0000";
  op_d2_i   <=x"0000";
  r0re_add_i <= '1';
  r0im_add_i <= '1';
  r1re_add_i <= '1';
  r1im_add_i <= '1';
  r2re_add_i <= '1';
  r2im_add_i <= '1';
  r3re_add_i <= '1';
  r3im_add_i <= '1';
  done_i    <= '0';
  clear_i   <= '1';

---- 1 er état de la machine d'état
when st1 =>
  op_a_i    <=h_re_reg(0);
  op_b_i    <=rx_re_reg(0);
  op_c_i    <=h_re_reg(2);
  op_d_i    <=rx_im_reg(0);
  op_b2_i   <=rx_re_reg(1);
  op_d2_i   <=rx_im_reg(1);
  r0re_add_i <= '1';
  r0im_add_i <= '1';
  r2re_add_i <= '1';
  r2im_add_i <= '1';
  r1re_add_i <= '1';
  r1im_add_i <= '1';
  r3re_add_i <= '1';
  r3im_add_i <= '1';

```

```

done_i      <= '1';
clear_i     <= '1';
---- 2 eme état de la machine d'état
when st2 =>
  op_a_i     <=h_im_reg(0);
  op_b_i     <=rx_im_reg(0);
  op_c_i     <=h_im_reg(2);
  op_d_i     <=rx_re_reg(0);
  op_b2_i    <=rx_im_reg(1);
  op_d2_i    <=rx_re_reg(1);
  r0re_add_i <= '0';
  r0im_add_i <= '1';
  r2re_add_i <= '0';
  r2im_add_i <= '1';
  r1re_add_i <= '0';
  r1im_add_i <= '1';
  r3re_add_i <= '0';
  r3im_add_i <= '1';

  done_i     <= '0';
  clear_i    <= '0';
---- 3 eme état de la machine d'état
when st3 =>
  op_a_i     <=h_re_reg(1);
  op_b_i     <=rx_re_reg(2);
  op_c_i     <=h_re_reg(3);
  op_d_i     <=rx_im_reg(2);
  op_b2_i    <=rx_re_reg(3);
  op_d2_i    <=rx_im_reg(3);
  r0re_add_i <= '1';
  r0im_add_i <= '1';
  r2re_add_i <= '1';
  r2im_add_i <= '1';
  r1re_add_i <= '1';
  r1im_add_i <= '1';
  r3re_add_i <= '1';
  r3im_add_i <= '1';
  done_i     <= '0';
  clear_i    <= '0';
---- 4 eme état de la machine d'état

```

```

when st4 =>
  op_a_i    <=h_im_reg(1);
  op_b_i    <=rx_im_reg(2);
  op_c_i    <=h_im_reg(3);
  op_d_i    <=rx_re_reg(2);
  op_b2_i   <=rx_im_reg(3);
  op_d2_i   <=rx_re_reg(3);
  r0re_add_i <= '0';
  r0im_add_i <= '1';
  r2re_add_i <= '0';
  r2im_add_i <= '1';
  r1re_add_i <= '0';
  r1im_add_i <= '1';
  r3re_add_i <= '0';
  r3im_add_i <= '1';

  done_i    <='0';
  clear_i   <='0';

          end case;

end process;
process(state)
begin
  next_state <= state;
  case(state)is
    when st_rst =>next_state<=st1;
    when st1=>next_state<=st2;
    when st2=>next_state<=st3;
    when st3=>next_state<=st4;
    when st4=>next_state<=st1;
    when others =>
      next_state <=st_rst;
    end case;
end process;
end Behavioral;

```

Décodeur :

Décodeur :

```
1  library IEEE;
2  use IEEE.STD_LOGIC_1164.ALL;
3  use ieee.numeric_std.ALL;
4  use ieee.std_logic_signed.all;
5  library work;
6  use work.mes_types.all;
7
8  entity decodeur is
9  port(
10     clock : in std_logic;
11     reset : in std_logic;
12     rx_re_in:in matrix;
13     rx_im_in:in matrix;
14     h_re_in: in matrix;
15     h_im_in: in matrix;
16
17     s0re_est:out std_logic_vector(15 downto 0);
18     s0im_est:out std_logic_vector(15 downto 0);
19     s1re_est:out std_logic_vector(15 downto 0);
20     s1im_est:out std_logic_vector(15 downto 0)
21
22     );
23 end decodeur;
24
25 architecture Behavioral of decodeur is
26
27     signal s0re_op :std_logic;
28     signal s0im_op :std_logic;
29     signal s1re_op :std_logic;
30     signal s1im_op :std_logic;
31 --
```

```

32     signal clear_control :std_logic;
33     signal clear_units  :std_logic;
34     signal op_a :std_logic_vector(15 downto 0);
35     signal op_b :std_logic_vector(15 downto 0);
36     signal op_c :std_logic_vector(15 downto 0);
37     signal op_d :std_logic_vector(15 downto 0);
38     signal op_a2 :std_logic_vector(15 downto 0);
39     signal op_b2 :std_logic_vector(15 downto 0);
40     signal op_c2 :std_logic_vector(15 downto 0);
41     signal op_d2 :std_logic_vector(15 downto 0);
42     signal op_at :std_logic_vector(15 downto 0);
43     signal op_bt :std_logic_vector(15 downto 0);
44     signal op_ct :std_logic_vector(15 downto 0);
45     signal op_dt :std_logic_vector(15 downto 0);
46     signal op_a2t :std_logic_vector(15 downto 0);
47     signal op_b2t :std_logic_vector(15 downto 0);
48     signal op_c2t :std_logic_vector(15 downto 0);
49     signal op_d2t :std_logic_vector(15 downto 0);
50     ---
51     signal s0re_prod: std_logic_vector(15 downto 0);
52     signal s0im_prod:  std_logic_vector(15 downto 0);
53     signal s1re_prod:  std_logic_vector(15 downto 0);
54     signal s1im_prod:  std_logic_vector(15 downto 0);
55     signal s0re_prod2: std_logic_vector(15 downto 0);
56     signal s0im_prod2:  std_logic_vector(15 downto 0);
57     signal s1re_prod2:  std_logic_vector(15 downto 0);
58     signal s1im_prod2:  std_logic_vector(15 downto 0);
59     ---
60     signal s0re_sum1: std_logic_vector(15 downto 0);
61     signal s0im_sum1: std_logic_vector(15 downto 0);
62     signal s1re_sum1: std_logic_vector(15 downto 0);
63     signal s1im_sum1: std_logic_vector(15 downto 0);
64     signal s0re_sum2: std_logic_vector(15 downto 0);
65     signal s0im_sum2: std_logic_vector(15 downto 0);
66     signal s1re_sum2: std_logic_vector(15 downto 0);
67     signal s1im_sum2: std_logic_vector(15 downto 0);
68     ----

```

```

69     signal s0re_sum : std_logic_vector(15 downto 0);
70     signal s0im_sum : std_logic_vector(15 downto 0);
71     signal sire_sum : std_logic_vector(15 downto 0);
72     signal slim_sum : std_logic_vector(15 downto 0);
73     signal s0re_sumt: std_logic_vector(15 downto 0);
74     signal s0im_sumt: std_logic_vector(15 downto 0);
75     signal sire_sumt: std_logic_vector(15 downto 0);
76     signal slim_sumt: std_logic_vector(15 downto 0);
77     ---
78     signal s0re_total : std_logic_vector(15 downto 0);
79     signal s0im_total : std_logic_vector(15 downto 0);
80     signal sire_total : std_logic_vector(15 downto 0);
81     signal slim_total : std_logic_vector(15 downto 0);
82     signal s0re_total2: std_logic_vector(15 downto 0);
83     signal s0im_total2: std_logic_vector(15 downto 0);
84     signal sire_total2: std_logic_vector(15 downto 0);
85     signal slim_total2: std_logic_vector(15 downto 0);
86
87     signal s0re_op_regd :std_logic;
88     signal s0im_op_regd :std_logic;
89     signal sire_op_regd :std_logic;
90     signal slim_op_regd :std_logic;
91     signal done_i: std_logic;
92     -----
93     ----declaration des composants
94     -----
95     component comb_control2
96     port(
97         clock : in std_logic;
98         reset : in std_logic;
99         rx_re_in: in matrix;
100        rx_im_in: in matrix;
101        h_re_in : in matrix;
102        h_im_in : in matrix;
103        --

```

```

104     operand_a  :out std_logic_vector(15 downto 0);
105     operand_b  :out std_logic_vector(15 downto 0);
106     operand_c  :out std_logic_vector(15 downto 0);
107     operand_d  :out std_logic_vector(15 downto 0);
108     operand_a2 :out std_logic_vector(15 downto 0);
109     operand_b2 :out std_logic_vector(15 downto 0);
110     operand_c2 :out std_logic_vector(15 downto 0);
111     operand_d2 :out std_logic_vector(15 downto 0);
112     s0re_add,s0im_add: out std_logic;
113     sire_add,s1im_add: out std_logic;
114     done       : out std_logic;
115     clear      : out std_logic
116   );
117 end component;
118
119 component add_sub is
120 port (
121     a: in std_logic_vector(15 downto 0);
122     b: in std_logic_vector(15 downto 0);
123     add:in std_logic;
124     ans:out std_logic_vector(15 downto 0)
125   );
126 end component;
127 component mult16
128 port
129   (
130     in1, in2: in std_logic_vector(15 downto 0);
131     Result: out std_logic_vector(15 downto 0)
132   );
133 end component;
134
135 -----fin de declaration des composants-----
136 begin
137
138 clear_units <= reset or clear_control;

```

```

140 combiner_control_unit: comb_control2 port map(
141
142     clock => clock,
143     reset => reset,
144     rx_re_in=>rx_re_in,
145     rx_im_in=>rx_im_in,
146     h_re_in=>h_re_in,
147     h_im_in=>h_im_in,
148     --
149     operand_a=> op_at,
150     operand_b =>op_bt,
151     operand_c =>op_ct,
152     operand_d =>op_dt,
153     operand_a2=> op_a2t,
154     operand_b2 =>op_b2t,
155     operand_c2 =>op_c2t,
156     operand_d2 =>op_d2t,
157     ---
158     s0re_add=>s0re_op,
159     s0im_add=>s0im_op,
160     slre_add=>slre_op,
161     slim_add=>slim_op,
162     done=>done_i,
163     clear=>clear_control
164 );
165
166 -- besoin d'entregister les add/sub signaux
167 process (clock)
168 begin
169 if (clock'event and clock ='1') then
170

```

```

171 s0re_op_regd <= s0re_op;
172 s0im_op_regd <= s0im_op;
173 sire_op_regd <= sire_op;
174 slim_op_regd <= slim_op;
175 op_a <=op_at;
176 op_b <=op_bt;
177 op_c <=op_ct;
178 op_d <=op_dt;
179 op_a2 <=op_a2t;
180 op_b2 <=op_b2t;
181 op_c2 <=op_c2t;
182 op_d2 <=op_d2t;
183 end if;
184 end process;
185 -----
186 ----registre et multiplicateurs
187 -----
188
189     s0re_reg:process (clock)
190     begin
191         if (clock'event and clock ='1') then
192             if (clear_units='1') then
193                 s0re_total <= x"0000";
194                 s0re_total2 <= x"0000";
195             else
196                 s0re_total <= s0re_sum1;
197                 s0re_total2 <= s0re_sum2;
198             end if;
199         end if;
200     end process;
201

```

```

202     s0im_reg:process (clock)
203 begin
204 if rising_edge(clock) then
205     if (clear_units='1') then
206         s0im_total <= x"0000";
207     s0im_total2 <= x"0000";
208     else
209         s0im_total <= s0im_sum1;
210     s0im_total2 <= s0im_sum2;
211     end if;
212     end if;
213     end process;
214
215 s1re_reg:process (clock)
216 begin
217 if rising_edge(clock) then
218     if (clear_units='1') then
219         s1re_total <= x"0000";
220     s1re_total2 <= x"0000";
221     else
222         s1re_total <= s1re_sum1;
223     s1re_total2 <= s1re_sum2;
224     end if;
225     end if;
226     end process;
227
228 s1im_reg:process (clock)
229 begin
230 if rising_edge(clock) then
231     if (clear_units='1') then
232         s1im_total <= x"0000";
233     s1im_total2 <= x"0000";
234     else
235         s1im_total <= s1im_sum1;
236     s1im_total2 <= s1im_sum2;
237     end if;
238     end if;

```

```

239     end process;
240
241     -----
242     multip_s0re: mult16 port map
243     (
244         in1=> op_a,
245         in2=> op_b ,
246         Result=>s0re_prod
247     );
248     multip_s0re2: mult16 port map
249     (
250         in1=> op_a2,
251         in2=> op_b2 ,
252         Result=>s0re_prod2
253     );
254     -----
255     multip_s0im: mult16 port map
256     (
257         in1=> op_a,
258         in2=> op_c ,
259         Result=>s0im_prod
260     );
261     multip_s0im2: mult16 port map
262     (
263         in1=> op_a2,
264         in2=> op_c2 ,
265         Result=>s0im_prod2
266     );
267     -----
268     multip_slre: mult16 port map
269     (
270         in1=> op_d,
271         in2=> op_b ,
272         Result=>slre_prod
273     );

```

```

274  multip_sire2: mult16 port map
275  (
276      in1=> op_d2,
277      in2=> op_b2 ,
278      Result=>sire_prod2
279  );
280  -----
281  multip_slim: mult16 port map
282  (
283      in1=> op_d,
284      in2=> op_c ,
285      Result=>slim_prod
286  );
287  multip_slim2: mult16 port map
288  (
289      in1=> op_d2,
290      in2=> op_c2 ,
291      Result=>slim_prod2
292  );
293  -----
294  ---add/sub
295  -----
296  s0re_add1: add_sub port map(
297      a => s0re_total,
298      b => s0re_prod,
299      add =>s0re_op_regd,
300      ans => s0re_sum1
301  );
302  s0re_add2: add_sub port map(
303      a => s0re_total2,
304      b => s0re_prod2,
305      add =>s0re_op_regd,
306      ans => s0re_sum2
307  );

```

```

308 s0re_add: add_sub port map(
309     a => s0re_sum1,
310     b => s0re_sum2,
311     add => s0re_op_regd,
312     ans => s0re_sum
313 );
314 -----
315 s0im_add1: add_sub port map(
316     a => s0im_total,
317     b => s0im_prod,
318     add => s0im_op_regd,
319     ans => s0im_sum1
320 );
321 s0im_add2: add_sub port map(
322     a => s0im_total2,
323     b => s0im_prod2,
324     add => s0im_op_regd,
325     ans => s0im_sum2
326 );
327 s0im_add: add_sub port map(
328     a => s0im_sum1,
329     b => s0im_sum2,
330     add => s0re_op_regd,
331     ans => s0im_sum
332 );
333 -----
334
335 sire_add1: add_sub port map(
336     a => sire_total,
337     b => sire_prod,
338     add => sire_op_regd,
339     ans => sire_sum1
340 );

```

```

341 s1re_add2: add_sub port map(
342     a => s1re_total2,
343     b => s1re_prod2,
344     add => s1re_op_regd,
345     ans => s1re_sum2
346 );
347 s1re_add: add_sub port map(
348     a => s1re_sum1,
349     b => s1re_sum2,
350     add => s0re_op_regd,
351     ans => s1re_sum
352 );
353 -----
354 slim_add1: add_sub port map(
355     a => slim_total,
356     b => slim_prod,
357     add => slim_op_regd,
358     ans => slim_sum1
359 );
360 slim_add2: add_sub port map(
361     a => slim_total2,
362     b => slim_prod2,
363     add => slim_op_regd,
364     ans => slim_sum2
365 );
366 slim_add: add_sub port map(
367     a => slim_sum1,
368     b => slim_sum2,
369     add => s0re_op_regd,
370     ans => slim_sum
371 );
372 -----
373 -----output assignments-----
374 -----
375 process(done_i)
376 begin
377 if(done_i='1') then
378     s0re_sunt <= s0re_sum;
379     s0im_sunt <= s0im_sum;
380     s1re_sunt <= s1re_sum;
381     slim_sunt <= slim_sum;
382 else
383     s0re_sunt <= s0re_sunt;
384     s0im_sunt <= s0im_sunt;
385     s1re_sunt <= s1re_sunt;
386     slim_sunt <= slim_sunt;
387 end if;
388 end process;
389 s0re_est <= s0re_sunt;
390 s0im_est <= s0im_sunt;
391 s1re_est <= s1re_sunt;
392 slim_est <= slim_sunt;
393 end Behavioral;

```

Mult16 :

```
library IEEE;
use IEEE.STD_LOGIC_1164.ALL;
use IEEE.NUMERIC_STD.ALL;

entity Mult16 is
  port
  (
    in1,in2: in std_logic_vector(15 downto 0);
    Result : out std_logic_vector(15 downto 0)
  );
end entity Mult16;

architecture Behavioral of Mult16 is
  signal Result_t: std_logic_vector(31 downto 0);
begin
  Result_t <= std_logic_vector(signed(in1) * signed(in2));
  Result <=Result_t(23 downto 8);
end architecture Behavioral;
```

Add/sub :

```
library IEEE;
use IEEE.std_logic_1164.all;
use IEEE.numeric_std.all;

entity add_sub is
  port(
    a: in std_logic_vector(15 downto 0);
    b: in std_logic_vector(15 downto 0);
    add:in std_logic;
    ans:out std_logic_vector(15 downto 0)
  );
end add_sub;

architecture Behavioral of add_sub is
begin
  ans <= std_logic_vector(signed(a)+signed(b)) when add='1'
  else
    std_logic_vector(signed(a)-signed(b));
end behavioral;
```

Unité de contrôle :

```
1  library IEEE;
2  use IEEE.STD_LOGIC_1164.ALL;
3  use ieee.std_logic_SIGNED.all;
4
5  library work;
6  use work.mes_types.all;
7
8  entity comb_control2 is
9  port(
10     clock : in std_logic;
11     reset : in std_logic;
12     rx_re_in: in matrix;
13     rx_im_in: in matrix;
14     h_re_in: in matrix;
15     h_im_in: in matrix;
16     --
17     operand_a :out std_logic_vector(15 downto 0);
18     operand_b :out std_logic_vector(15 downto 0);
19     operand_c :out std_logic_vector(15 downto 0);
20     operand_d :out std_logic_vector(15 downto 0);
21     operand_a2 :out std_logic_vector(15 downto 0);
22     operand_b2 :out std_logic_vector(15 downto 0);
23     operand_c2 :out std_logic_vector(15 downto 0);
24     operand_d2 :out std_logic_vector(15 downto 0);
25     -----
26     s0re_add,s0im_add: out std_logic;
27     s1re_add,s1im_add: out std_logic;
28     done : out std_logic;
29     clear: out std_logic
30     );
31
32 end comb_control2;
33
34 architecture Behavioral of comb_control2 is
```

```

35
36 type state_type is (st_rst,st1,st2,st3,st4);
37     signal state, next_state : state_type;
38     signal op_a_i :std_logic_vector(15 downto 0);
39     signal op_b_i :std_logic_vector(15 downto 0);
40     signal op_c_i :std_logic_vector(15 downto 0);
41     signal op_d_i :std_logic_vector(15 downto 0);
42     -----
43     signal s0re_add_i,s0im_add_i:std_logic;
44     signal s1re_add_i,s1im_add_i: std_logic;
45     signal op_a2_i :std_logic_vector(15 downto 0);
46     signal op_b2_i :std_logic_vector(15 downto 0);
47     signal op_c2_i :std_logic_vector(15 downto 0);
48     signal op_d2_i :std_logic_vector(15 downto 0);
49     signal rx_re_reg:  matrix;
50     signal rx_im_reg:  matrix;
51     signal h_re_reg:  matrix;
52     signal h_im_reg:  matrix;
53
54     signal done_i :std_logic;
55     signal clear_i :std_logic;
56 begin
57     input_regs: process (clock,reset)
58     begin
59         if rising_edge(clock) then
60             if (reset='1') then
61                 rx_re_reg <=(others =>x"0000");
62                 rx_im_reg <=(others =>x"0000");
63                 h_re_reg  <=(others =>x"0000");
64                 h_im_reg  <=(others =>x"0000");
65             else if (state = st4) or (state= st_rst) then
66                 rx_re_reg <=rx_re_in;
67                 rx_im_reg <=rx_im_in;
68                 h_re_reg  <=h_re_in;
69                 h_im_reg  <=h_im_in;
70             end if;
71         end if;

```

```

72     end if;
73     end process;
74 sync_proc: process (clock,reset)
75 begin
76     if rising_edge(clock) then
77         if (reset='1') then
78             state      <= st_rst;
79             s0re_add   <= '1';
80             s0im_add   <= '1';
81             sire_add   <= '1';
82             slim_add   <= '1';
83
84             operand_a  <= x"0000";
85             operand_b  <= x"0000";
86             operand_c  <= x"0000";
87             operand_d  <= x"0000";
88             operand_a2 <= x"0000";
89             operand_b2 <= x"0000";
90             operand_c2 <= x"0000";
91             operand_d2 <= x"0000";
92             done       <= '0';
93             clear      <= '1';
94         else
95             state      <= next_state;
96             s0re_add   <= s0re_add_i;
97             s0im_add   <= s0im_add_i;
98             sire_add   <= sire_add_i ;
99             slim_add   <= slim_add_i;
100

```

```

101     operand_a <= op_a_i;
102     operand_b <=op_b_i;
103     operand_c <=op_c_i;
104     operand_d <=op_d_i;
105     operand_a2 <= op_a2_i;
106     operand_b2 <=op_b2_i;
107     operand_c2 <=op_c2_i;
108     operand_d2 <=op_d2_i;
109     done      <= done_i;
110     clear     <= clear_i;
111
112     end if;
113     end if;
114 end process;
115
116 output_decod: process (state,h_re_reg,h_im_reg,rx_re_reg,rx_im_reg)
117 begin
118 case(state)is
119
120 when st_rst =>
121     op_a_i      <=x"0000";
122     op_b_i      <=x"0000";
123     op_c_i      <=x"0000";
124     op_d_i      <=x"0000";
125     op_a2_i     <=x"0000";
126     op_b2_i     <=x"0000";
127     op_c2_i     <=x"0000";
128     op_d2_i     <=x"0000";
129     --
130     s0re_add_i  <= '1';
131     s0im_add_i  <= '1';
132     s1re_add_i  <= '1';
133     s1im_add_i  <= '1';
134     done_i      <= '0';
135     clear_i     <= '1';

```

```

136
137 when st1 =>
138     op_a_i  <=h_re_reg(0);
139     op_b_i  <=rx_re_reg(0);
140     op_c_i  <=rx_im_reg(0);
141     op_d_i  <=h_re_reg(1);
142     op_a2_i <=h_re_reg(2);
143     op_b2_i <=rx_re_reg(2);
144     op_c2_i <=rx_im_reg(2);
145     op_d2_i <=h_re_reg(3);
146     s0re_add_i <= '1';
147     s0im_add_i <= '1';
148     s1re_add_i <= '1';
149     s1im_add_i <= '1';
150
151     done_i    <= '1';
152     clear_i   <= '1';
153
154 when st2 =>
155     op_a_i  <=h_im_reg(0);
156     op_b_i  <=rx_im_reg(0);
157     op_c_i  <=rx_re_reg(0);
158     op_d_i  <=h_im_reg(1);
159     op_a2_i <=h_im_reg(2);
160     op_b2_i <=rx_im_reg(2);
161     op_c2_i <=rx_re_reg(2);
162     op_d2_i <=h_im_reg(3);
163     s0re_add_i <= '1';
164     s0im_add_i <= '0';
165     s1re_add_i <= '1';
166     s1im_add_i <= '0';
167
168     done_i    <= '0';
169     clear_i   <= '0';
170

```

```

170
171 when st3 =>
172     op_a_i  <=h_re_reg(1);
173     op_b_i  <=rx_re_reg(1);
174     op_c_i  <=rx_im_reg(1);
175     op_d_i  <=h_re_reg(0);
176     op_a2_i <=h_re_reg(3);
177     op_b2_i <=rx_re_reg(3);
178     op_c2_i <=rx_im_reg(3);
179     op_d2_i <=h_re_reg(2);
180     s0re_add_i <= '1';
181     s0im_add_i <= '0';
182     s1re_add_i <= '0';
183     s1im_add_i <= '1';
184
185     done_i  <='0';
186     clear_i <='0';
187
188 when st4 =>
189     op_a_i  <=h_im_reg(1);
190     op_b_i  <=rx_im_reg(1);
191     op_c_i  <=rx_re_reg(1);
192     op_d_i  <=h_im_reg(0);
193     op_a2_i <=h_im_reg(3);
194     op_b2_i <=rx_im_reg(3);
195     op_c2_i <=rx_re_reg(3);
196     op_d2_i <=h_im_reg(2);
197     s0re_add_i <= '1';
198     s0im_add_i <= '1';
199     s1re_add_i <= '0';
200     s1im_add_i <= '0';
201
202     done_i  <='0';
203     clear_i <='0';
204
205 end case;
206
207 end process;
208 process(state)
209 begin
210     next_state <= state;
211     case(state)is
212         when st_rst =>next_state<=st1;
213         when st1 =>next_state<=st2;
214         when st2 =>next_state<=st3;
215         when st3=>next_state<=st4;
216         when st4=>next_state<=st1;
217         when others =>
218             next_state <=st_rst;
219         end case;
220 end process;
221 end Behavioral;

```

Estimateur :

```
1  library IEEE;
2  use IEEE.STD_LOGIC_1164.ALL;
3  use ieee.std_logic_SIGNED.all;
4  use ieee.numeric_std.ALL;
5
6  library work;
7  use work.mes_types.all;
8
9  entity estimateur is
10 port (
11  clock : in std_logic;
12  rx_re_t:in matrix;
13  rx_im_t:in matrix;
14  h_re_t:out matrix;
15  h_im_t:out matrix
16 );
17 end estimateur;
18
19 architecture Behavioral of estimateur is
20     signal c : std_logic_vector(15 downto 0):="00000000100000000";
21     signal c2: std_logic_vector(15 downto 0) := "11111111000000000";
22
23     signal temp_re:matrix;
24     signal temp_im:matrix;
25
26     signal h_re_prod0re_c : std_logic_vector(15 downto 0);
27     signal h_re_prod1re_c2: std_logic_vector(15 downto 0);
28     signal h_re_prod1re_c : std_logic_vector(15 downto 0);
29     signal h_re_prod2re_c : std_logic_vector(15 downto 0);
30     signal h_re_prod3re_c : std_logic_vector(15 downto 0);
31     signal h_re_prod3re_c2: std_logic_vector(15 downto 0);
32     -----
```

```

32 -----
33 signal h_re_prod0im_c2: std_logic_vector(15 downto 0);
34 signal h_re_prodlim_c2: std_logic_vector(15 downto 0);
35 signal h_re_prodlim_c : std_logic_vector(15 downto 0);
36 signal h_re_prod2im_c2: std_logic_vector(15 downto 0);
37 signal h_re_prod3im_c2: std_logic_vector(15 downto 0);
38 signal h_re_prod3im_c : std_logic_vector(15 downto 0);
39 -----
40
41 signal h_im_prod0im_c : std_logic_vector(15 downto 0);
42 signal h_im_prodlim_c2: std_logic_vector(15 downto 0);
43 signal h_im_prodlim_c : std_logic_vector(15 downto 0);
44 signal h_im_prod2im_c : std_logic_vector(15 downto 0);
45 signal h_im_prod3im_c : std_logic_vector(15 downto 0);
46 signal h_im_prod3im_c2: std_logic_vector(15 downto 0);
47 -----
48 signal h_im_prod0re_c2: std_logic_vector(15 downto 0);
49 signal h_im_prodlre_c2: std_logic_vector(15 downto 0);
50 signal h_im_prodlre_c : std_logic_vector(15 downto 0);
51 signal h_im_prod2re_c2: std_logic_vector(15 downto 0);
52 signal h_im_prod3re_c2: std_logic_vector(15 downto 0);
53 signal h_im_prod3re_c : std_logic_vector(15 downto 0);
54 -----
55
56 -----
57     signal h_re_sum0_c: std_logic_vector(15 downto 0);
58     signal h_re_sum1_c: std_logic_vector(15 downto 0);
59     signal h_re_sum2_c: std_logic_vector(15 downto 0);
60     signal h_re_sum3_c: std_logic_vector(15 downto 0);
61
62     signal h_re_sum0_c2: std_logic_vector(15 downto 0);
63     signal h_re_sum1_c2: std_logic_vector(15 downto 0);
64     signal h_re_sum2_c2: std_logic_vector(15 downto 0);
65     signal h_re_sum3_c2: std_logic_vector(15 downto 0);
66

```

```

67     signal h_re_sum0: std_logic_vector(15 downto 0);
68     signal h_re_sum1: std_logic_vector(15 downto 0);
69     signal h_re_sum2: std_logic_vector(15 downto 0);
70     signal h_re_sum3: std_logic_vector(15 downto 0);
71
72     signal h_im_sum0: std_logic_vector(15 downto 0);
73     signal h_im_sum1: std_logic_vector(15 downto 0);
74     signal h_im_sum2: std_logic_vector(15 downto 0);
75     signal h_im_sum3: std_logic_vector(15 downto 0);
76
77     signal h_im_sum0_c2: std_logic_vector(15 downto 0);
78     signal h_im_sum1_c2: std_logic_vector(15 downto 0);
79     signal h_im_sum2_c2: std_logic_vector(15 downto 0);
80     signal h_im_sum3_c2: std_logic_vector(15 downto 0);
81     signal h_im_sum0_c: std_logic_vector(15 downto 0);
82     signal h_im_sum1_c: std_logic_vector(15 downto 0);
83     signal h_im_sum2_c: std_logic_vector(15 downto 0);
84     signal h_im_sum3_c: std_logic_vector(15 downto 0);
85
86     signal send : std_logic;
87     signal compt : integer :=0;
88
89     signal h_im0_c2_v:std_logic_vector (31 downto 0);
90     signal h_im0_c_v:std_logic_vector (31 downto 0);
91     signal h_re0_c_v:std_logic_vector (31 downto 0);
92     signal h_re0_c2_v:std_logic_vector (31 downto 0);
93     signal h_re1_c2_v:std_logic_vector (31 downto 0);
94     signal h_re1_c_v:std_logic_vector (31 downto 0);
95     signal h_re1_c2_v2:std_logic_vector (31 downto 0);
96     signal h_re1_c_v2:std_logic_vector (31 downto 0);
97
98
99     signal h_im1_c2_v:std_logic_vector (31 downto 0);
100    signal h_im1_c2_v2:std_logic_vector (31 downto 0);
101    signal h_im1_c_v:std_logic_vector (31 downto 0);
102    signal h_im1_c_v2:std_logic_vector (31 downto 0);
103

```

```

104
105 signal h_im3_c2_v:std_logic_vector (31 downto 0);
106 signal h_im3_c2_v2:std_logic_vector (31 downto 0);
107
108 signal h_im3_c_v:std_logic_vector (31 downto 0);
109 signal h_im3_c_v2:std_logic_vector (31 downto 0);
110
111 signal h_im2_c2_v:std_logic_vector (31 downto 0);
112 signal h_im2_c_v:std_logic_vector (31 downto 0);
113
114
115 signal h_re3_c_v:std_logic_vector (31 downto 0);
116 signal h_re3_c_v2:std_logic_vector (31 downto 0);
117 signal h_re3_c2_v:std_logic_vector (31 downto 0);
118 signal h_re3_c2_v2:std_logic_vector (31 downto 0);
119 signal h_re2_c_v:std_logic_vector (31 downto 0);
120 signal h_re2_c2_v:std_logic_vector (31 downto 0);
121
122
123
124 -----
125 component add is
126 port(
127     a,b      : in std_logic_vector(15 downto 0);
128     ans      : out std_logic_vector(15 downto 0));
129 end component;
130 component sub
131 port(
132     a: in std_logic_vector(15 downto 0);
133     b: in std_logic_vector(15 downto 0);
134     ans:out std_logic_vector(15 downto 0)
135 );
136 end component;

```

```

136 component mult is
137     port
138     (
139         in1, in2: in std_logic_vector(15 downto 0);
140
141         Result: out std_logic_vector(31 downto 0)
142     );
143 end component;
144 component div is
145     port
146     (
147         in1: in std_logic_vector(31 downto 0);
148         Result: out std_logic_vector(15 downto 0)
149     );
150 end component;
151 -----FIN DE DECLARATION DES COMPOSANTS-----
152 begin
153
154 processh:process(clock)
155 begin
156
157 if rising_edge(clock) then
158 --if (Compt>9) then
159 if (Compt>10) then
160 --    if (Compt>2) then
161         Compt <=12;
162         send<= '0';
163     else
164         Compt <=Compt+1;
165         send <= '1';
166     end if;
167 end if;
168 end process;
169

```

```

170   processus:process (clock,send)
171 begin
172   if rising_edge(clock) then
173     if(send='1') then
174       temp_re<=rx_re_t;
175       temp_im<=rx_im_t;
176     --else
177     --temp_re<=(others=>x"0000");
178     --temp_im<=(others=>x"0000");
179     end if;
180   end if;
181 end process;
182 -----
183 multip_re_0re_c: mult port map
184   (
185     in1=> c,
186     in2=> temp_re(0) ,
187     Result=>h_re0_c_v
188   );
189 division_re_0re_c: div port map
190   (
191     in1=>h_re0_c_v ,
192     Result=>h_re_prod0re_c
193   );
194
195   multip_re_1re_c2: mult port map
196   (
197     in1=> c2,
198     in2=> temp_re(1) ,
199     Result=>h_re1_c2_v
200   );
201 division_re_1re_c2: div port map
202   (
203     in1=>h_re1_c2_v ,
204     Result=>h_re_prodlre_c2
205   );

```

```

207
208 multip_re_2re_c: mult port map
209   (
210     in1=> c,
211     in2=> temp_re(2) ,
212     Result=>h_re2_c_v
213   );
214 division_re_2re_c: div port map
215   (
216     in1=>h_re2_c_v ,
217     Result=>h_re_prod2re_c
218   );
219
220 multip_re_3re_c2: mult port map
221   (
222     in1=> c2,
223     in2=> temp_re(3) ,
224     Result=>h_re3_c2_v
225   );
226 division_re_3re_c2: div port map
227   (
228     in1=>h_re3_c2_v ,
229     Result=>h_re_prod3re_c2
230   );
231 -----
232 multip_re_1re_c: mult port map
233   (
234     in1=> c,
235     in2=> temp_re(1) ,
236     Result=>h_re1_c_v
237   );
238 division_re_1re_c: div port map
239   (
240     in1=>h_re1_c_v ,
241     Result=>h_re_prodlre_c
242   );

```

```

244 multip_re_3re_c: mult port map
245   (
246     in1=> c,
247     in2=> temp_re(3) ,
248     Result=>h_re3_c_v
249   );
250 division_re_3re_c: div port map
251   (
252     in1=>h_re3_c_v ,
253     Result=>h_re_prod3re_c
254   );
255 -----
256 -----
257 multip_re_0im_c2: mult port map
258   (
259     in1=> c2,
260     in2=> temp_im(0) ,
261     Result=>h_im0_c2_v
262   );
263 division_re_0im_c2: div port map
264   (
265     in1=>h_im0_c2_v ,
266     Result=>h_re_prod0im_c2
267   );
268 -----
269 -----
270 multip_re_1im_c2: mult port map
271   (
272     in1=> c2,
273     in2=> temp_im(1) ,
274     Result=>h_im1_c2_v
275   );

```

```

276 division_re_lim_c2: div port map
277 (
278     in1=>h_im1_c2_v ,
279     Result=>h_re_prodlim_c2
280 );
281 -----
282 multip_re_lim_c: mult port map
283 (
284     in1=> c,
285     in2=> temp_im(1) ,
286     Result=>h_im1_c_v
287 );
288 division_re_lim_c: div port map
289 (
290     in1=>h_im1_c_v ,
291     Result=>h_re_prodlim_c
292 );
293 -----
294
295
296 multip_re_2im_c2: mult port map
297 (
298     in1=> c2,
299     in2=> temp_im(2) ,
300     Result=>h_im2_c2_v
301 );
302 division_re_2im_c2: div port map
303 (
304     in1=>h_im2_c2_v,
305     Result=>h_re_prod2im_c2
306 );
307 -----
308

```

```

345 division_im_0im_c: div port map
346 (
347     in1=>h_im0_c_v ,
348     Result=>h_im_prod0im_c
349 );
350
351 multip_im_lim_c2: mult port map
352 (
353     in1=> c2,
354     in2=> temp_im(1) ,
355     Result=>h_im1_c2_v2
356 );
357 division_im_lim_c2: div port map
358 (
359     in1=>h_im1_c2_v2 ,
360     Result=>h_im_prodlim_c2
361 );
362 -----
363
364 multip_im_2im_c: mult port map
365 (
366     in1=> c,
367     in2=> temp_im(2) ,
368     Result=>h_im2_c_v
369 );
370 division_im_2im_c: div port map
371 (
372     in1=>h_im2_c_v ,
373     Result=>h_im_prod2im_c
374 );
375
376 multip_im_3im_c2: mult port map
377 (
378     in1=> c2,
379     in2=> temp_im(3) ,
380     Result=>h_im3_c2_v2
381 );

```

```

382 division_im_3im_c2: div port map
383 (
384     in1=>h_im3_c2_v2 ,
385     Result=>h_im_prod3im_c2
386 );
387 -----
388 multip_im_lim_c: mult port map
389 (
390     in1=> c,
391     in2=> temp_im(1) ,
392     Result=>h_im1_c_v2
393 );
394 division_im_lim_c: div port map
395 (
396     in1=>h_im1_c_v2 ,
397     Result=>h_im_prodlim_c
398 );
399 -----
400 multip_im_3im_c: mult port map
401 (
402     in1=> c,
403     in2=> temp_im(3) ,
404     Result=>h_im3_c_v2
405 );
406 division_im_3im_c: div port map
407 (
408     in1=>h_im3_c_v2 ,
409     Result=>h_im_prod3im_c
410 );
411 -----
412 -----

```

```

413 multip_im_0re_c2: mult port map
414 (
415     in1=> c2,
416     in2=> temp_re(0) ,
417     Result=>h_re0_c2_v
418 );
419 division_im_0re_c2: div port map
420 (
421     in1=>h_re0_c2_v ,
422     Result=>h_im_prod0re_c2
423 );
424
425 -----
426 multip_im_1re_c2: mult port map
427 (
428     in1=> c2,
429     in2=> temp_re(1) ,
430     Result=>h_re1_c2_v2
431 );
432 division_im_1re_c2: div port map
433 (
434     in1=>h_re1_c2_v2 ,
435     Result=>h_im_prodlre_c2
436 );
437 -----
438 multip_im_1re_c: mult port map
439 (
440     in1=> c,
441     in2=> temp_re(1) ,
442     Result=>h_re1_c_v2
443 );
444 division_im_1re_c: div port map
445 (
446     in1=>h_re1_c_v2 ,
447     Result=>h_im_prodlre_c
448 );

```

```

450
451
452 multip_im_2re_c2: mult port map
453   (
454     in1=> c2,
455     in2=> temp_re(2) ,
456     Result=>h_re2_c2_v
457   );
458 division_im_2re_c2: div port map
459   (
460     in1=>h_re2_c2_v,
461     Result=>h_im_prod2re_c2
462   );
463 -----
464
465
466 multip_im_3re_c2: mult port map
467   (
468     in1=> c2,
469     in2=> temp_re(3) ,
470     Result=>h_re3_c2_v2
471   );
472 division_im_3re_c2: div port map
473   (
474     in1=>h_re3_c2_v2,
475     Result=>h_im_prod3re_c2
476   );
477 multip_im_3re_c: mult port map
478   (
479     in1=> c,
480     in2=> temp_re(3) ,
481     Result=>h_re3_c_v2
482   );

```

```

483 division_im_3re_c: div port map
484 (
485     in1=>h_re3_c_v2,
486     Result=>h_im_prod3re_c
487 );
488 -----
489 h_re_add0re: add port map(
490     a => h_re_prod0re_c,
491     b => h_re_prodlre_c2,
492     ans => h_re_sum0_c
493 );
494 h_re_add0im: add port map(
495     a => h_re_prod0im_c2,
496     b => h_re_prodlim_c2,
497     ans => h_re_sum0_c2
498 );
499
500 h_re_sub0: sub port map(
501     a => h_re_sum0_c,
502     b => h_re_sum0_c2,
503     ans => h_re_sum0
504 );
505 -----
506 h_re_add1re: add port map(
507     a => h_re_prod0re_c,
508     b => h_re_prodlre_c,
509     ans => h_re_sum1_c
510 );
511 h_re_add1im: add port map(
512     a => h_re_prod0im_c2,
513     b => h_re_prodlim_c,
514     ans => h_re_sum1_c2
515 );

```

```
516 h_re_sub1: sub port map(  
517   a => h_re_sum1_c,  
518   b => h_re_sum1_c2,  
519   ans => h_re_sum1  
520   );  
521 -----  
522 h_re_add2re: add port map(  
523   a => h_re_prod2re_c,  
524   b => h_re_prod3re_c2,  
525   ans => h_re_sum2_c  
526   );  
527 h_re_add2im: add port map(  
528   a => h_re_prod2im_c2,  
529   b => h_re_prod3im_c2,  
530   ans => h_re_sum2_c2  
531   );  
532 h_re_sub2: sub port map(  
533   a => h_re_sum2_c,  
534   b => h_re_sum2_c2,  
535   ans => h_re_sum2  
536   );  
537 -----  
538 h_re_add3re: add port map(  
539   a => h_re_prod2re_c,  
540   b => h_re_prod3re_c,  
541   ans => h_re_sum3_c  
542   );  
543 h_re_add3im: add port map(  
544   a => h_re_prod2im_c2,  
545   b => h_re_prod3im_c,  
546   ans => h_re_sum3_c2  
547   );
```

```

548 h_re_sub3: sub port map(
549   a => h_re_sum3_c,
550   b => h_re_sum3_c2,
551   ans => h_re_sum3
552 );
553 -----
554 -----Imaginaire-----
555 -----
556 h_im_add0re: add port map(
557   a => h_im_prod0re_c2,
558   b => h_im_prodire_c2,
559   ans => h_im_sum0_c2
560 );
561 h_im_add0im: add port map(
562   a => h_im_prod0im_c,
563   b => h_im_prodlim_c2,
564   ans => h_im_sum0_c
565 );
566 h_im_add0: add port map(
567   a => h_im_sum0_c2,
568   b => h_im_sum0_c,
569   ans => h_im_sum0
570 );
571 -----
572 h_im_addlire: add port map(
573   a => h_im_prod0re_c2,
574   b => h_im_prodire_c,
575   ans => h_im_sum1_c2
576 );
577 h_im_addlim: add port map(
578   a => h_im_prod0im_c,
579   b => h_im_prodlim_c,
580   ans => h_im_sum1_c
581 );

```

```

582 h_im_add1: add port map(
583   a => h_im_sum1_c,
584   b => h_im_sum1_c2,
585   ans => h_im_sum1
586 );
587 -----
588 h_im_add2re: add port map(
589   a => h_im_prod2re_c2,
590   b => h_im_prod3re_c2,
591   ans => h_im_sum2_c
592 );
593
594 h_im_add2im: add port map(
595   a => h_im_prod2im_c,
596   b => h_im_prod3im_c2,
597   ans => h_im_sum2_c2
598 );
599 h_im_add2: add port map(
600   a => h_im_sum2_c,
601   b => h_im_sum2_c2,
602   ans => h_im_sum2
603 );
604 -----
605 h_im_add3re: add port map(
606   a => h_im_prod2re_c2,
607   b => h_im_prod3re_c,
608   ans => h_im_sum3_c
609 );
610
611 h_im_add3im: add port map(
612   a => h_im_prod2im_c,
613   b => h_im_prod3im_c,
614   ans => h_im_sum3_c2
615 );
616 h_im_add3: add port map(
617   a => h_im_sum3_c,
618   b => h_im_sum3_c2,
619   ans => h_im_sum3
620 );
621 -----
622 -----Sorties-----
623 h_im_t(0) <= h_im_sum0;
624 h_im_t(1) <= h_im_sum1;
625 h_im_t(2) <= h_im_sum2;
626 h_im_t(3) <= h_im_sum3;
627
628 h_re_t(0) <= h_re_sum0;
629 h_re_t(1) <= h_re_sum1;
630 h_re_t(2) <= h_re_sum2;
631 h_re_t(3) <= h_re_sum3;
632
633 end Behavioral;

```

Démodulateur :

Démodulateur BPSK :

```
library IEEE;
use IEEE.STD_LOGIC_1164.ALL;
use ieee.std_logic_SIGNED.all;

entity dbpsk is port(
  sre_estd:in std_logic_vector(15 downto 0);
  sim_estd:in std_logic_vector(15 downto 0);
  output : out std_logic
);
end dbpsk;

architecture Behavioral of dbpsk is
begin
output<= not sre_estd(15);
end Behavioral;
```

Démodulateur QAM :

```
library IEEE;
use IEEE.STD_LOGIC_1164.ALL;
use ieee.numeric_std.ALL;

library work;
use work.mes_types.all;

entity dqAM is port(
  sre_estd :in std_logic_vector(15 downto 0);
  sim_estd :in std_logic_vector(15 downto 0);
  sre_estd2:in std_logic_vector(15 downto 0);
  sim_estd2:in std_logic_vector(15 downto 0);
  output :out std_logic_vector(1 downto 0);
  output2 :out std_logic_vector(1 downto 0)
);
end dqAM;

architecture Behavioral of dqAM is
begin
output (0)<= not sim_estd (15);
output (1)<= not sre_estd (15);
output2(0)<= not sim_estd2(15);
output2(1)<= not sre_estd2(15);
end Behavioral;
```

TOP :

TOP BPSK :

```
1  library IEEE;
2  use IEEE.STD_LOGIC_1164.ALL;
3  use ieee.std_logic_SIGNED.all;
4  use ieee.numeric_std.ALL;
5  library work;
6  use work.mes_types.all;
7
8  entity TOP is
9  port(
10 clock : in std_logic;
11 clock1: out std_logic;
12 reset : in std_logic;
13 input1 : in std_logic;
14 input2 : in std_logic;
15 out1: out std_logic;
16 out2: out std_logic
17 );
18 end TOP;
19
20 architecture Behavioral of TOP is
21 -----
22 -----DECLARATION DES SIGNAUX-----
23 -----
24     signal out_i1 : std_logic_vector(15 downto 0);
25     signal out_i2 : std_logic_vector(15 downto 0);
26     signal out_q1 : std_logic_vector(15 downto 0);
27     signal out_q2 : std_logic_vector(15 downto 0);
28 -----
29 -----
30     signal s1_re: std_logic_vector(15 downto 0);
31     signal s2_re:std_logic_vector(15 downto 0);
32     signal s1_im:std_logic_vector(15 downto 0);
33     signal s2_im:std_logic_vector(15 downto 0);
34 -----
35     signal h_ret:matrix;
36     signal h_int:matrix;
37 -----
```

```

37 -----
38 signal outputi_codeur: matrix;
39 signal outputq_codeur: matrix;
40 signal outputi_canal: matrix;
41 signal outputq_canal:matrix;
42 -----
43     signal clk:std_logic;
44 -----
45 -----DECLARATION DES COMPOSANTS-----
46 -----
47 component diviseurf port(
48 clock_27Mhz : IN     STD_LOGIC;
49 clock_27Hz  : OUT   STD_LOGIC
50 );
51 end component;
52
53 component bpsk port( clk: in std_logic;input :in std_logic;i_out, q_out : out std_logic_vector(15 downto 0));
54     end component;
55
56 component codeur port (clk : in std_logic;i1_in,i2_in : in std_logic_vector(15 downto 0);
57 q1_in,q2_in : in std_logic_vector(15 downto 0);
58 outputq:out matrix;outputi:out matrix
59 );
60 end component;
61
62 component canal port(
63 reset : in std_logic;
64 clock : in std_logic;
65 inputi : in matrix;
66 inputq : in matrix;
67 outputi: out matrix;
68 outputq: out matrix
69 );
70 );
71 end component;
72
73
74 component estimateur port(clock : in std_logic;
75 rx_re_t:in matrix;
76 rx_im_t:in matrix;
77 h_re_t:out matrix;
78 h_im_t:out matrix
79 );
80 end component;
81
82 component decodeur
83 port(clock : in std_logic;reset:in std_logic;rx_re_in:in matrix;rx_im_in:in matrix;h_re_in: in matrix;
84 h_im_in: in matrix;s0re_est:out std_logic_vector(15 downto 0);s0im_est:out std_logic_vector(15 downto 0);
85 sire_est:out std_logic_vector(15 downto 0);sim_est:out std_logic_vector(15 downto 0));
86 end component;
87
88 component dbpsk port(
89 sre_estd:in std_logic_vector(15 downto 0);sim_estd:in std_logic_vector(15 downto 0);
90     output : out std_logic
91 );
92 end component;
93
94 -----
95 -----FIN DE DECLARATION DES COMPOSANTS-----
96 -----
97 begin
98     frequence: diviseurf port map(clock_27Mhz=>clock,clock_27Hz=>clk);
99     clock1 <=clk;
100 -----
101 -----Modulation-----
102 bpsk1:bpsk port map(clk=>clk,input=>input1,i_out=> out_i1,q_out=>out_q1);
103 bpsk2:bpsk port map(clk=>clk,input=>input2,i_out=> out_i2,q_out=>out_q2);
104 -----
105 -----CODAGE-----
106 le_codeur: codeur port map(clk=>clk,i1_in=>out_i1,i2_in=>out_i2,q1_in=>out_q1,q2_in=>out_q2,outputq=>outputq_codeur,
107     outputi=>outputi_codeur
108 );

```

```

109 -----Canal-----
110 Channel: canal port map(reset =>reset, clock=>clk, inputi=>outputi_codeur, inputq =>outputq_codeur,
111 outputi=>outputi_canal,
112 outputq=>outputq_canal
113 );
114 -----ESTIMATION-----
115
116 estimator: estimateur port map(clock=>clk, rx_re_t=>outputi_canal, rx_im_t=>outputq_canal,
117 h_re_t=>h_ret , h_im_t=> h_imt );
118
119 -----DECODAGE-----
120
121 decodor: decodeur port map(clock=>clk, reset=>reset, rx_re_in=>outputi_canal, rx_im_in=>outputq_canal,
122 h_re_in=>h_ret, h_im_in =>h_imt, s0re_est=>s1_re, s0im_est=>s1_im, s1re_est=>s2_re, s1im_est=>s2_im);
123
124 -----DEMODULATION-----
125
126 demodulateur1: dbpsk port map(sre_estd=>s1_re, sim_estd=>s1_im, output=>out1);
127 demodulateur2: dbpsk port map(sre_estd=>s2_re, sim_estd=>s2_im, output=>out2);
128
129
130 end Behavioral;

```

TOP QAM :

```
library IEEE;
use IEEE.std_logic_1164.all;
use ieee.numeric_std.ALL;
use ieee.std_logic_SIGNED.all;
library work;
use work.mes_types.all;

entity TOPQ is
port(
clock1 : in std_logic;
reset  : in std_logic;
input1 : in std_logic_vector(1 downto 0);
input2 : in std_logic_vector(1 downto 0);
out1   : out std_logic_vector(1 downto 0);
out2   : out std_logic_vector(1 downto 0)
);
end TOPQ;

architecture Behavioral of TOPQ is
-----DECLARATION DES SIGNAUX-----
signal out_i1 : std_logic_vector(15 downto 0);
signal out_i2 : std_logic_vector(15 downto 0);
signal out_q1 : std_logic_vector(15 downto 0);
signal out_q2 : std_logic_vector(15 downto 0);

signal s1_re : std_logic_vector(15 downto 0);
signal s2_re : std_logic_vector(15 downto 0);
signal s1_im : std_logic_vector(15 downto 0);
signal s2_im : std_logic_vector(15 downto 0);

signal h_ret : matrix;
signal h_imt : matrix;

signal outputi_codeur : matrix;
signal outputq_codeur : matrix;
signal outputi_canal : matrix;
signal outputq_canal : matrix;
signal clk :std_logic;
-----declaration des composants-----
--component diviseurf port(
--clock_27Mhz : IN STD_LOGIC;
--clock_27HZ : OUT STD_LOGIC
--);
--end component;
```

```

component QAM_mod port(
input :in std_logic_vector(1 downto 0);
i_out, q_out : out std_logic_vector(15 downto 0));
end component;

component codeur port (
clk      : in std_logic;
i1_in,i2_in : in std_logic_vector(15 downto 0);
q1_in,q2_in : in std_logic_vector(15 downto 0);
outputq    : out matrix;outputi:out matrix
);
end component;

component canal port(
reset    : in std_logic;
clock    : in std_logic;
inputi   : in matrix;
inputq   : in matrix;
outputi  : out matrix;
outputq  : out matrix
);
end component;

component estimateur port
(clock :in std_logic;
rx_re_t :in matrix;
rx_im_t :in matrix;
h_re_t  :out matrix;
h_im_t  :out matrix);
end component;

component decodeur
port(clock : in std_logic;
reset    :in std_logic;
rx_re_in:in matrix;
rx_im_in:in matrix;
h_re_in : in matrix;
h_im_in : in matrix;
s0re_est:out std_logic_vector(15 downto 0);
s0im_est:out std_logic_vector(15 downto 0);
s1re_est:out std_logic_vector(15 downto 0);
s1im_est:out std_logic_vector(15 downto 0));
end component;

```

```

component dQAM port(
  sre_estd : in std_logic_vector(15 downto 0);
  sim_estd : in std_logic_vector(15 downto 0);
  sre_estd2: in std_logic_vector(15 downto 0);
  sim_estd2: in std_logic_vector(15 downto 0);
  output   : out std_logic_vector(1 downto 0);
  output2  : out std_logic_vector(1 downto 0)
);
end component;

-----FIN DE DECLARATION DES COMPOSANTS-----

begin
--divf: diviseurf port map(clock_27Mhz=>clock1,clock_27Hz=>clk);
clk<=clock1;
-----Modulation-----
QAM1:QAM_mod port map(input=>input1,i_out=> out_i1,q_out=>out_q1);
QAM2:QAM_mod port map(input=>input2,i_out=> out_i2,q_out=>out_q2);
-----CODAGE-----
le_codeur: codeur port map(
clk=>clk,i1_in=>out_i1,i2_in=>out_i2,q1_in=>out_q1,q2_in=>out_q2,
outputq=>outputq_codeur,outputi=>outputi_codeur);
-----Canal-----
Channel: canal port map(reset =>reset,clock=>clk,inputi=>outputi_codeur,
inputq =>outputq_codeur,outputi=>outputi_canal,outputq=>outputq_canal);
-----ESTIMATION-----
estimator: estimateur port map(clock=>clk,rx_re_t=>outputi_canal,rx_im_t=>outputq_canal,
h_re_t=>h_ret ,h_im_t=> h_imt );
-----DECODAGE-----
le_decodeur: decodeur port map(clock=>clk,reset=>reset,rx_re_in=>outputi_canal,
rx_im_in=>outputq_canal,h_re_in=>h_ret,h_im_in =>h_imt,s0re_est=>s1_re,
s0im_est=>s1_im,s1re_est=>s2_re,s1im_est=>s2_im);
-----DEMODULATION-----
demodulateur: dQAM port map(
sre_estd=>s1_re,sim_estd=>s1_im,output=>out1,sre_estd2=>s2_re,sim_estd2=>s2_im,output2=>out2);
-----FIN-----
end Behavioral;

```